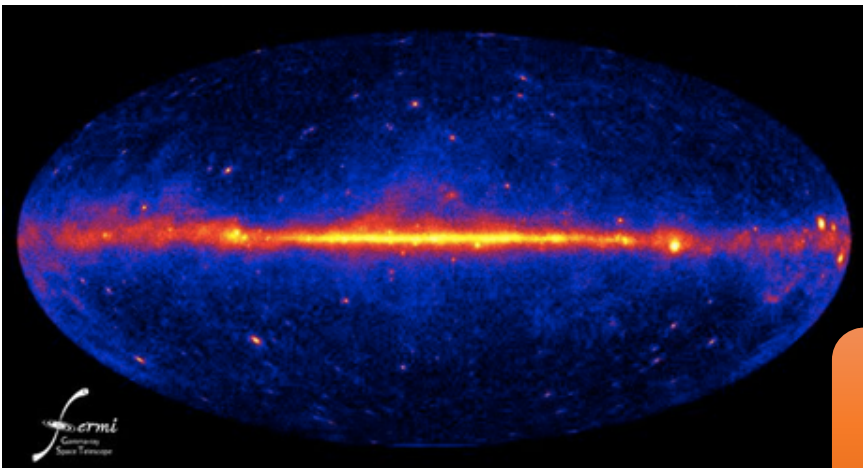
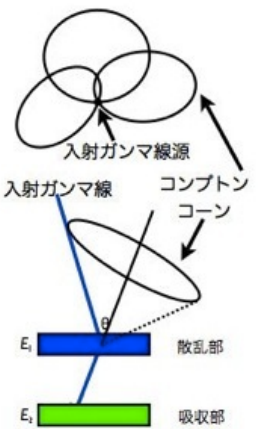
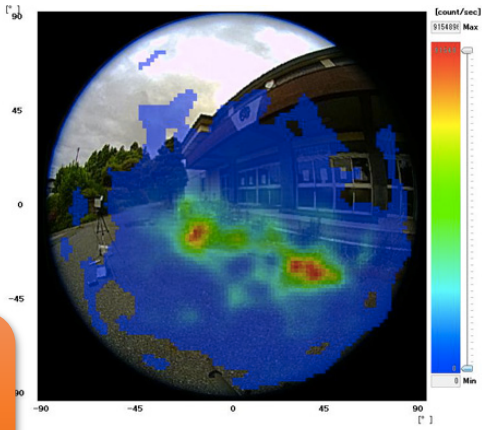


Development of γ -ray Detector using WLSF

伊藤博士
千葉大学 博士後期課程1年次
2016.01.26



環境放射能



天文観測

医療・検査・治療



γ-ray Detector

PET/SPECT

核物理実験

非破壊検査

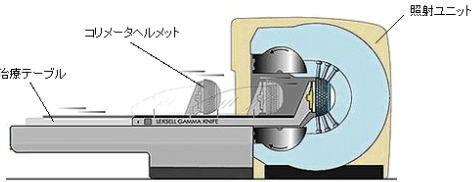
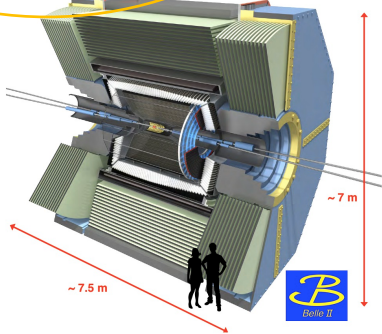
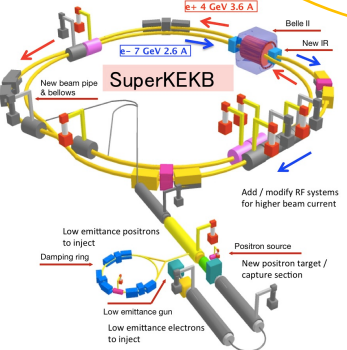
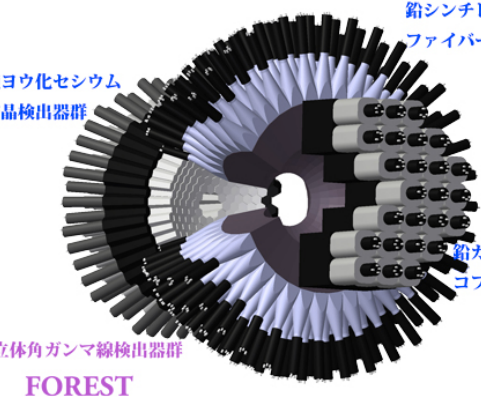
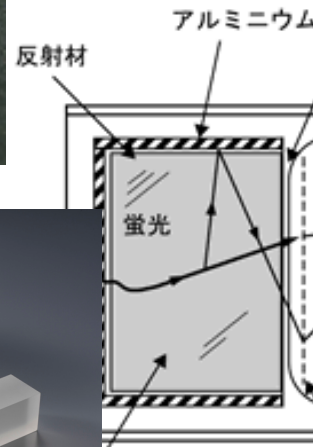
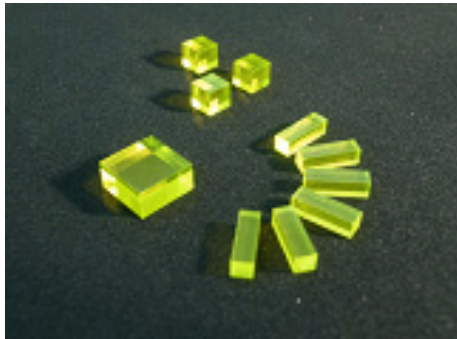


図2 ガンマナイフの断面図
[出所] Elekta Instrument AB社: Gamma Knife Surgery, <http://www.elekta.com>



Scintillation Detector Mechanism



タ
リウム単結晶)
元電圧 米米電極
蛍光が光電面にあると光電子が飛び出し、これが
で増倍されて、大きな電気信号が得られる。

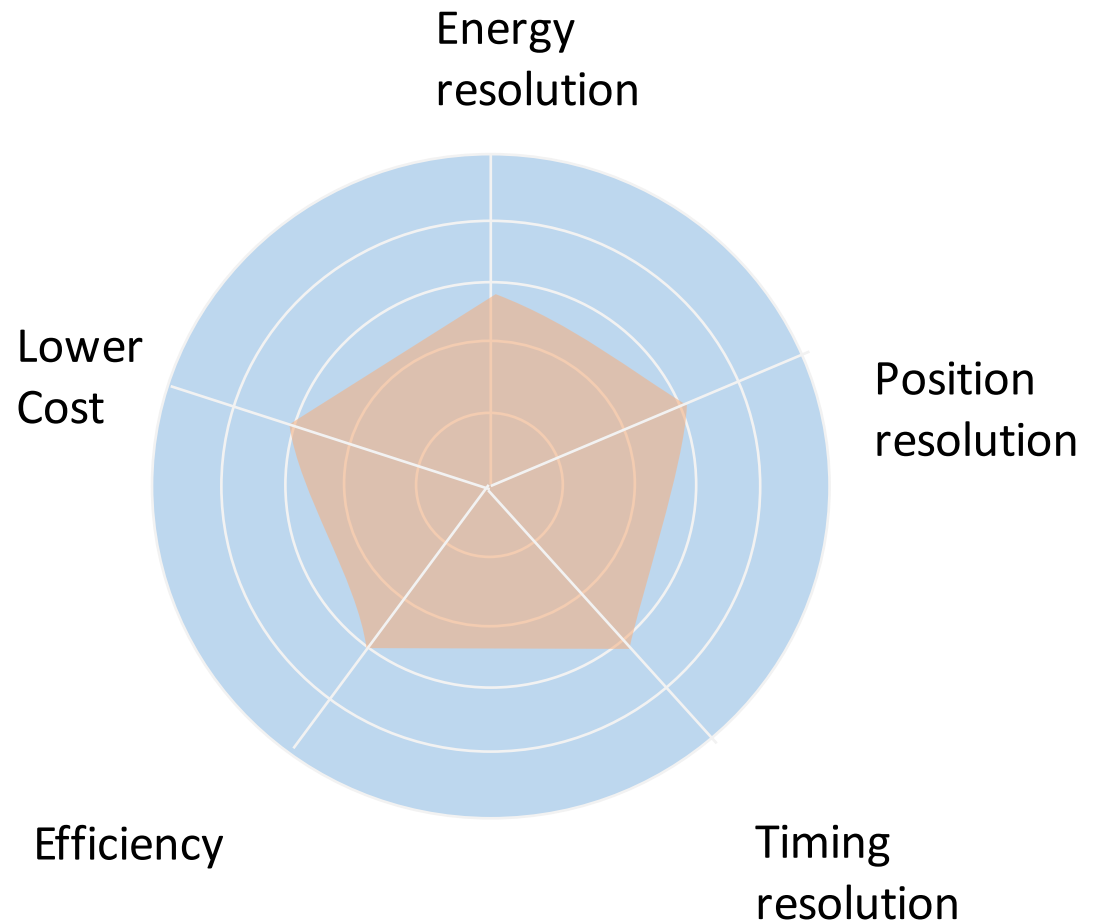
研究所 国際原子力総合技術センター: 原子力基



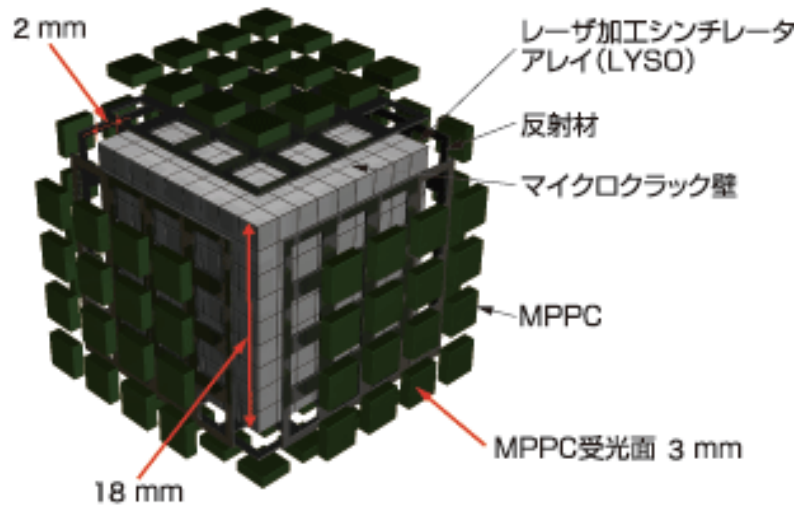
Typical γ -ray Detector performance



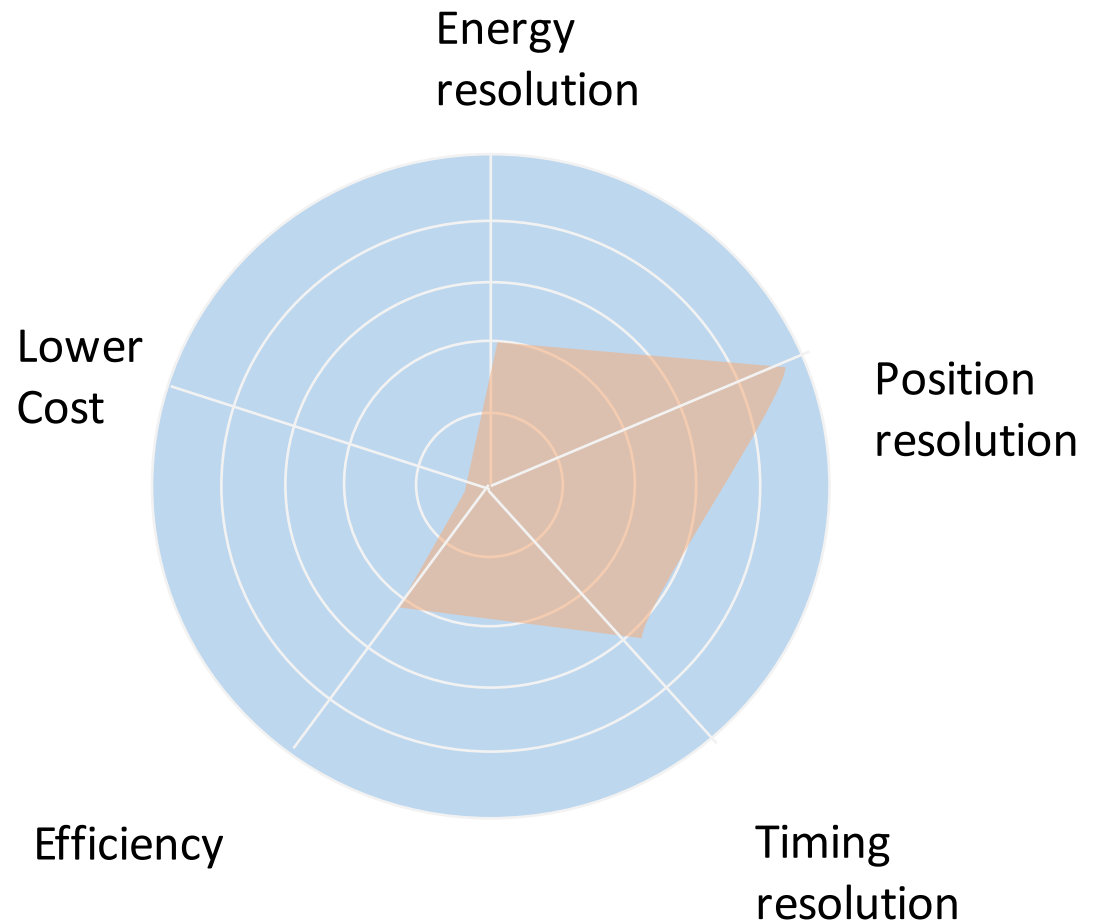
Anger logic: position reconstruction



Over Spec γ -ray Detector performance

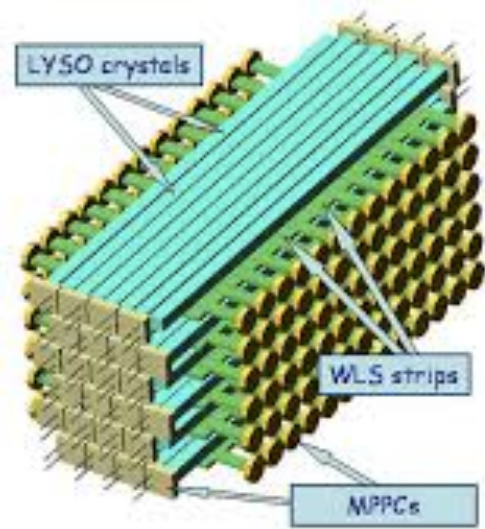


Anger logic: position reconstruction
DOI: Depth of Interaction

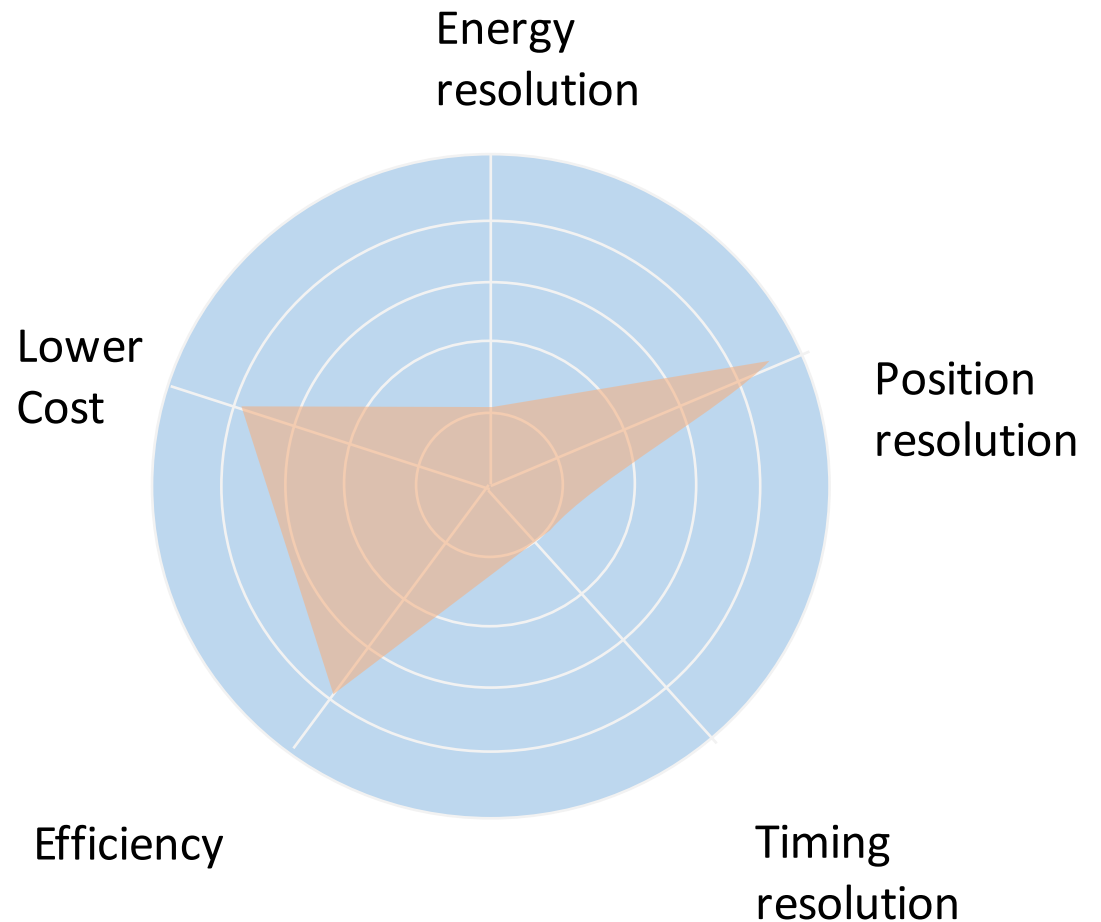


HAMAMATSU
PHOTON IS OUR BUSINESS

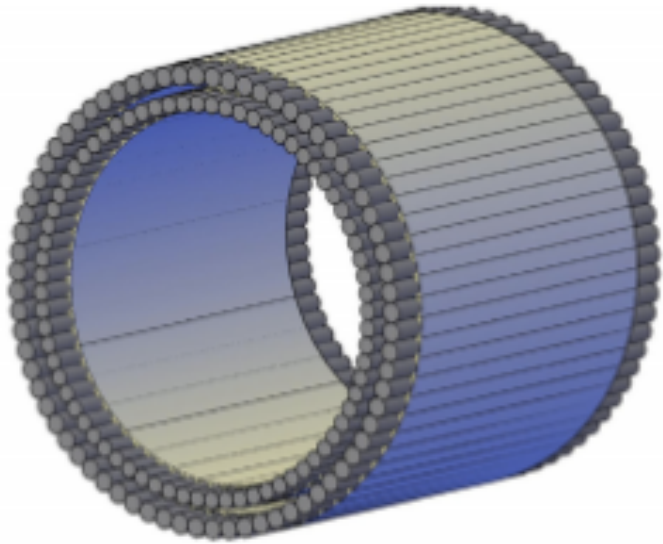
AX-PET by CERN group



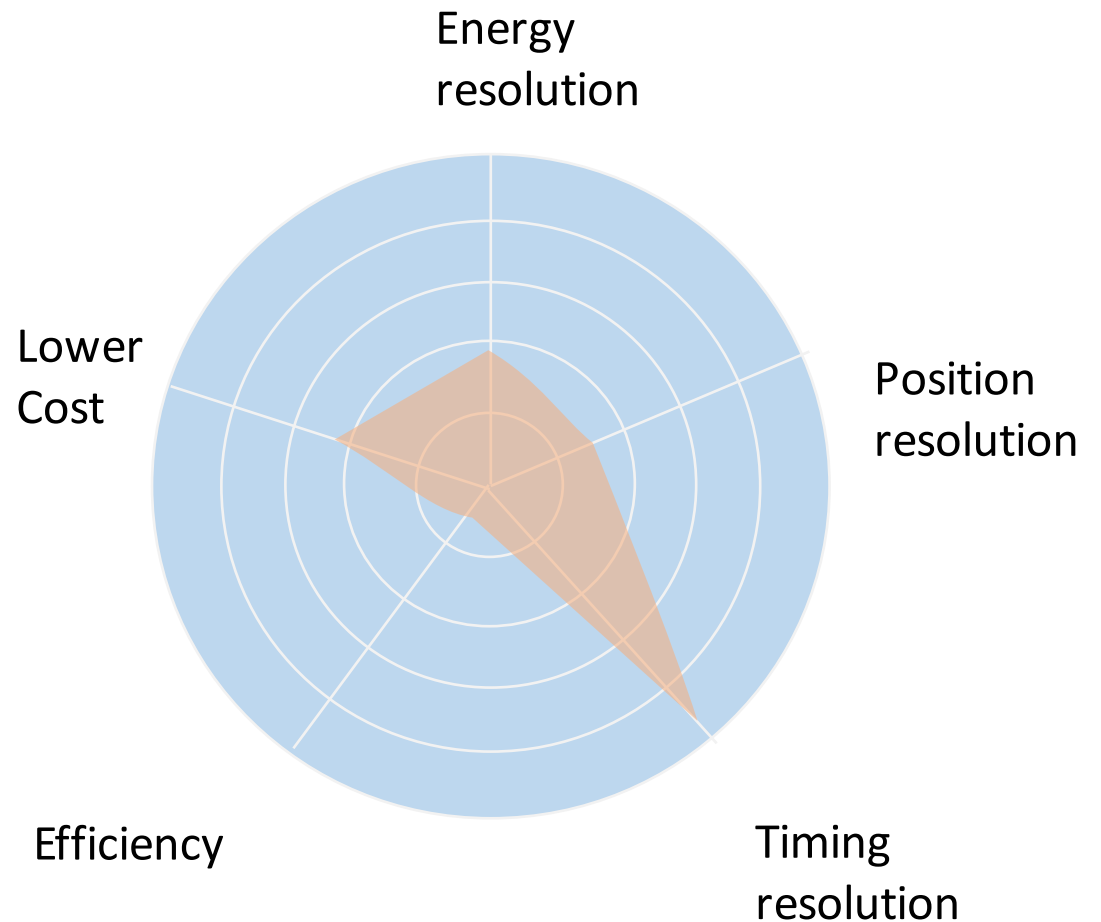
DOI: Depth of Interaction
WLS + SiPM \ll z-axis read out



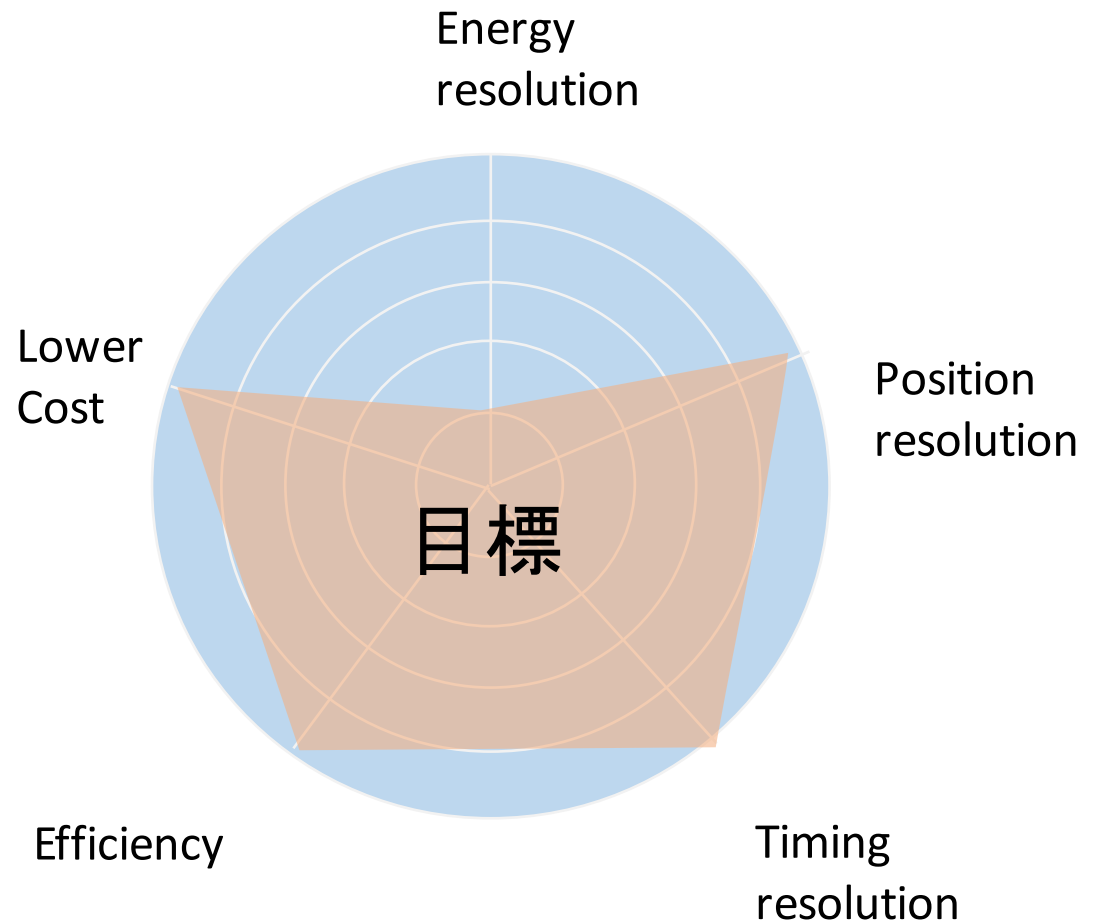
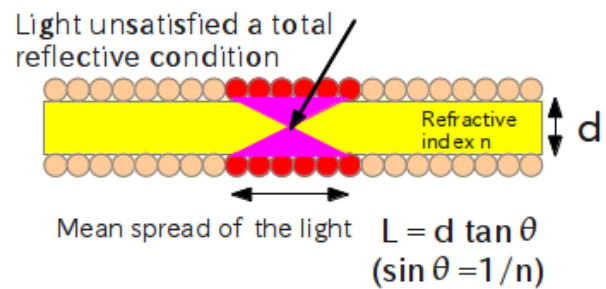
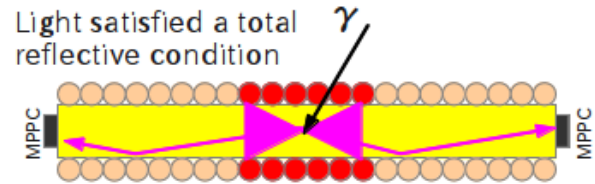
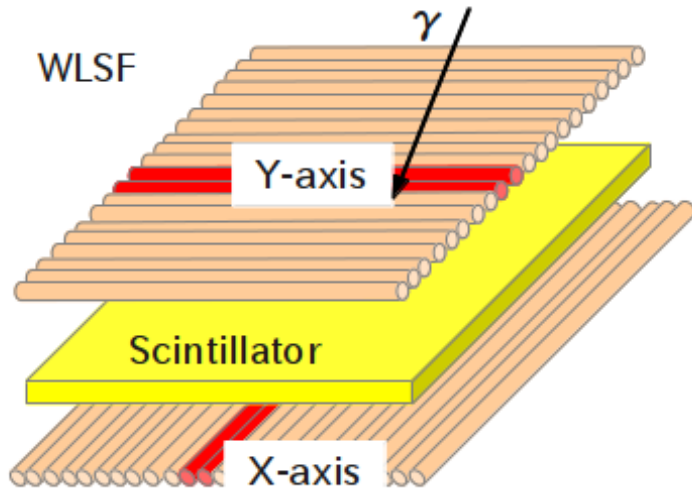
J-PET from plastic scintillator



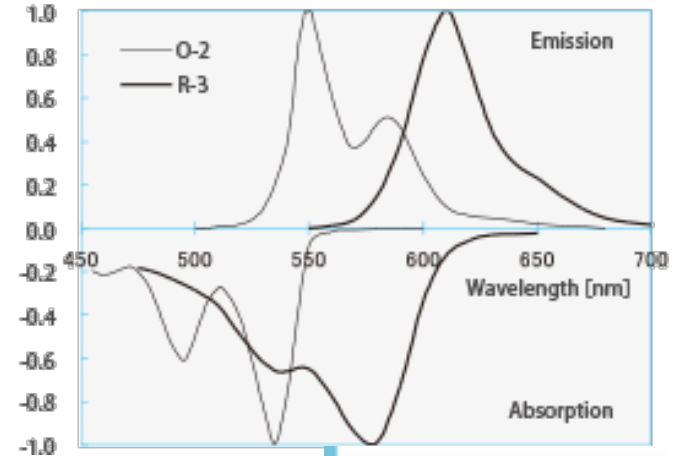
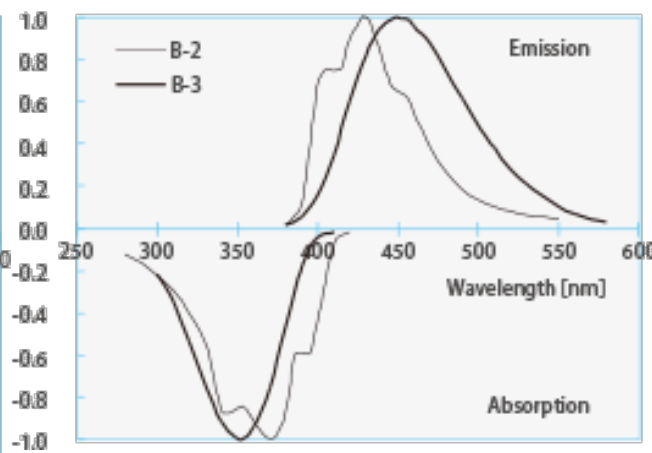
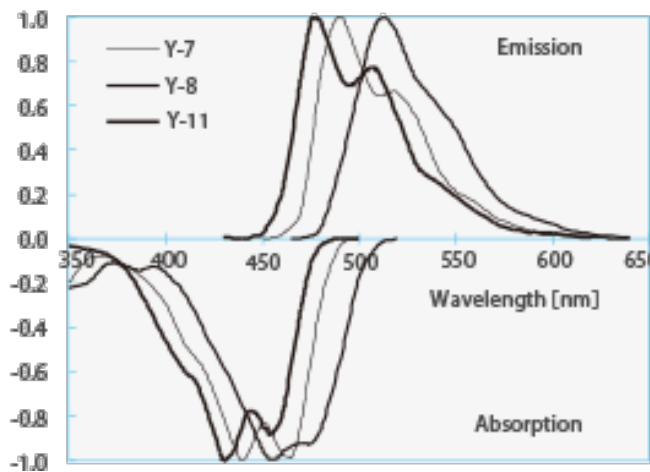
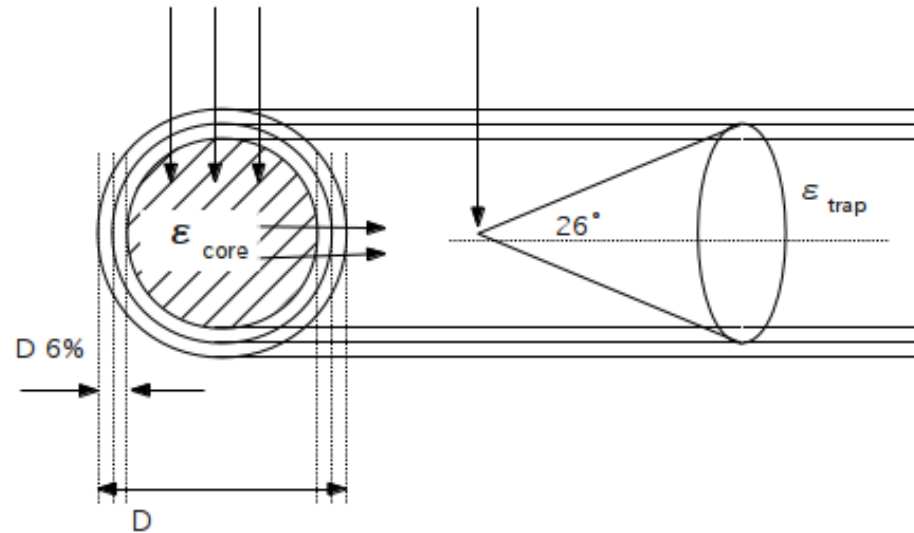
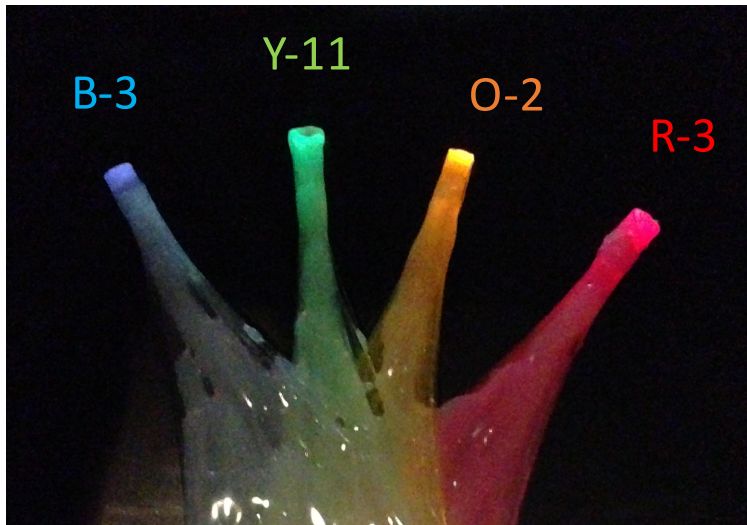
DOI: Depth of Interaction
Timing resolution: $\sigma \sim 120$ ps



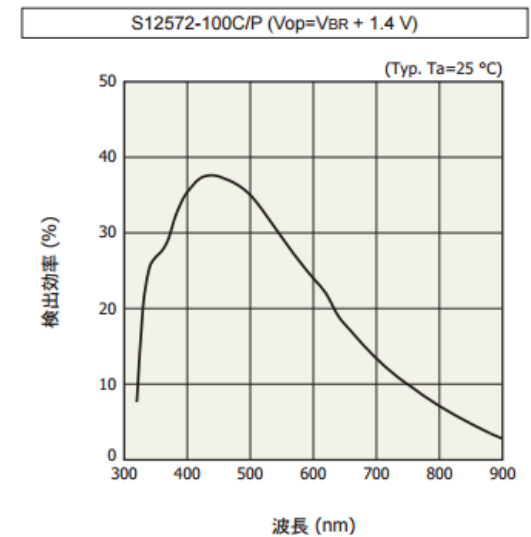
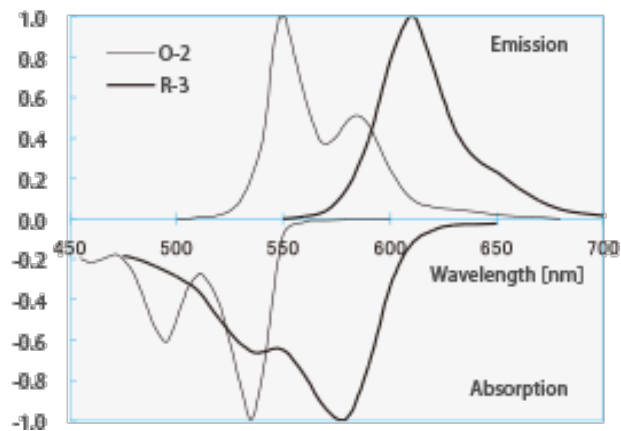
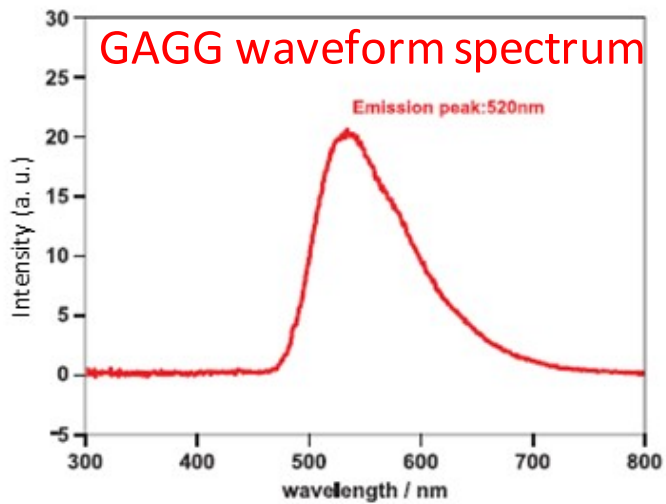
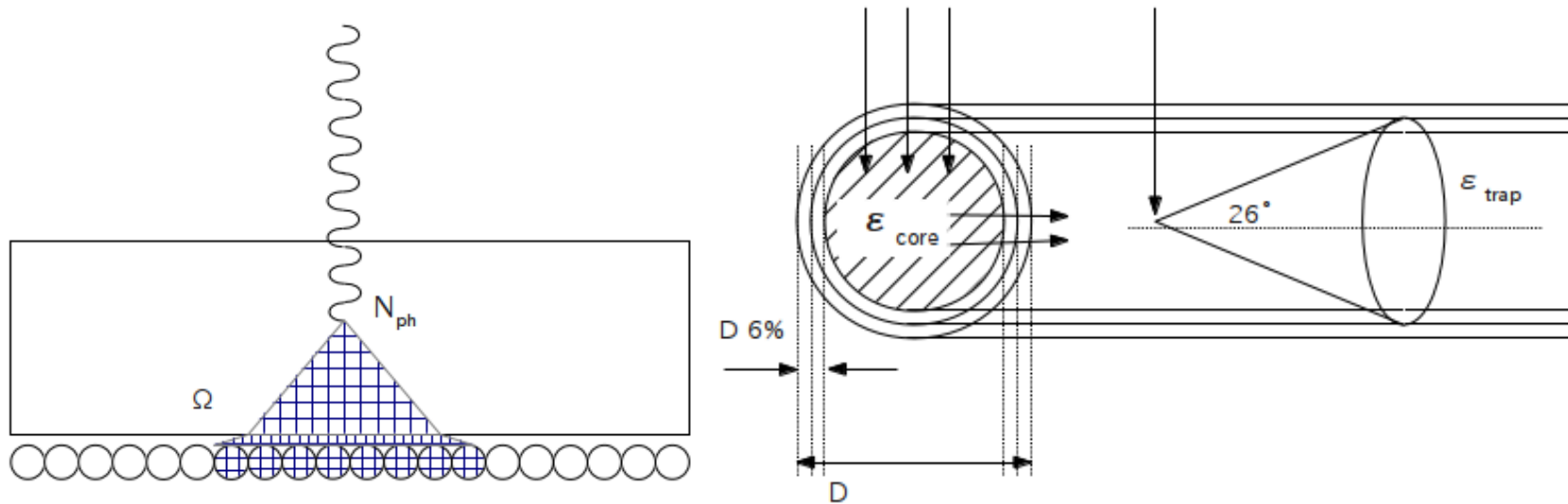
Using WLSF



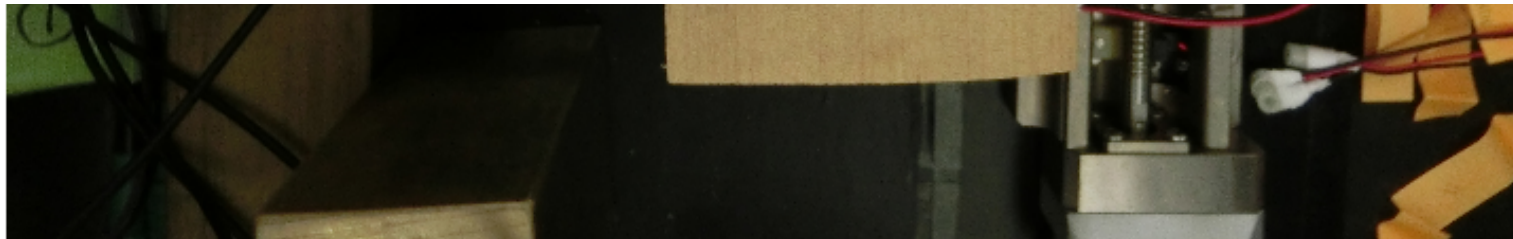
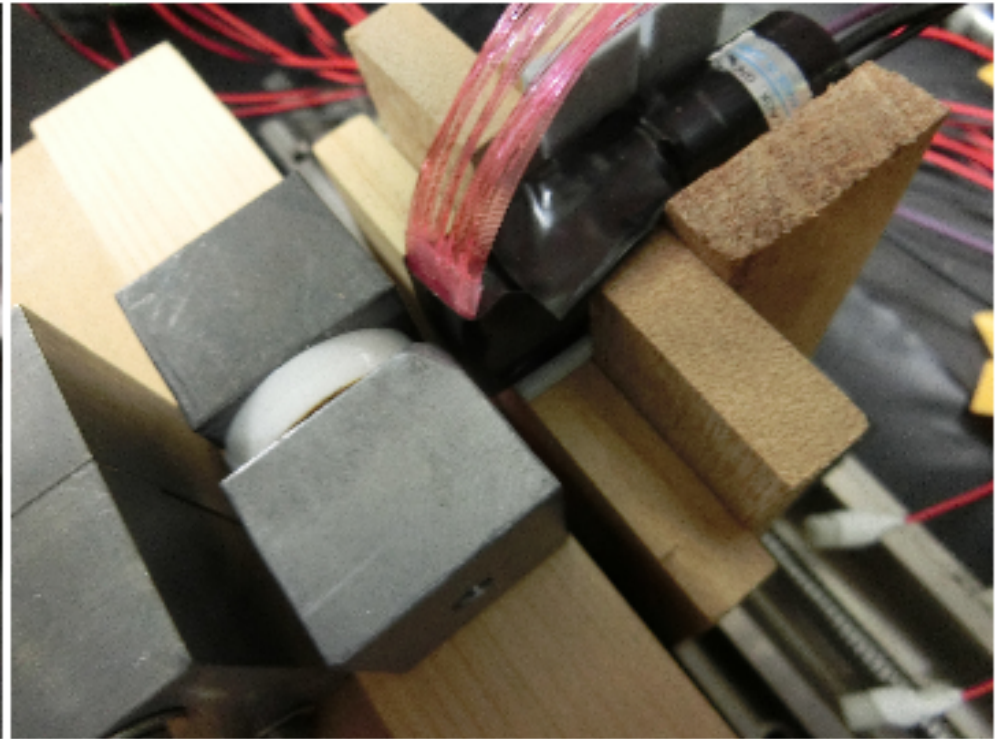
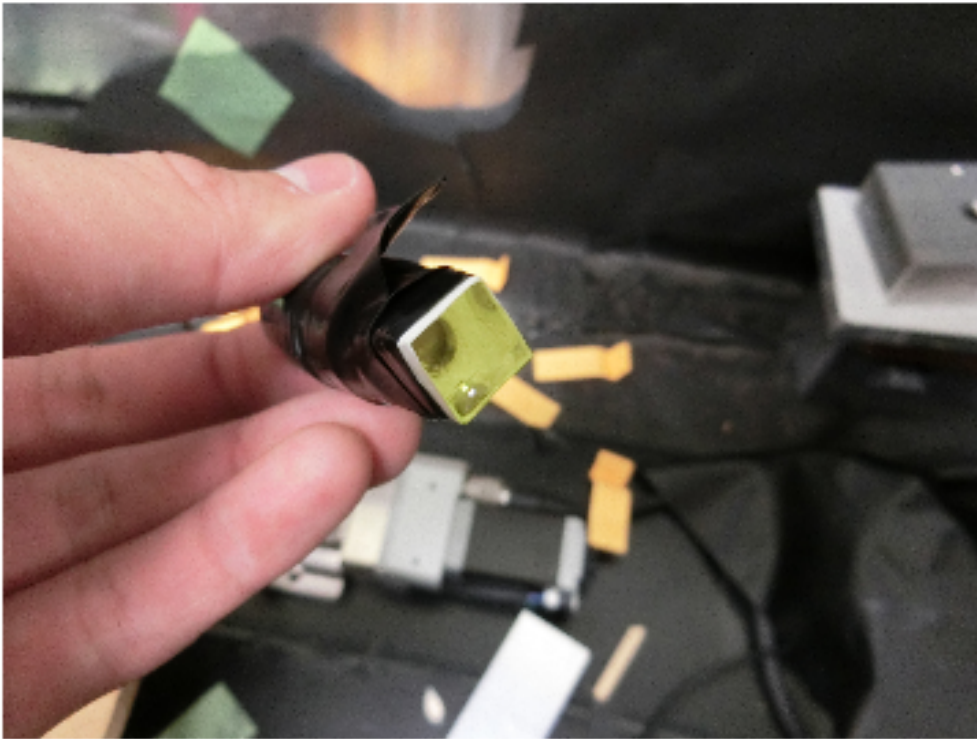
What is WLSF?



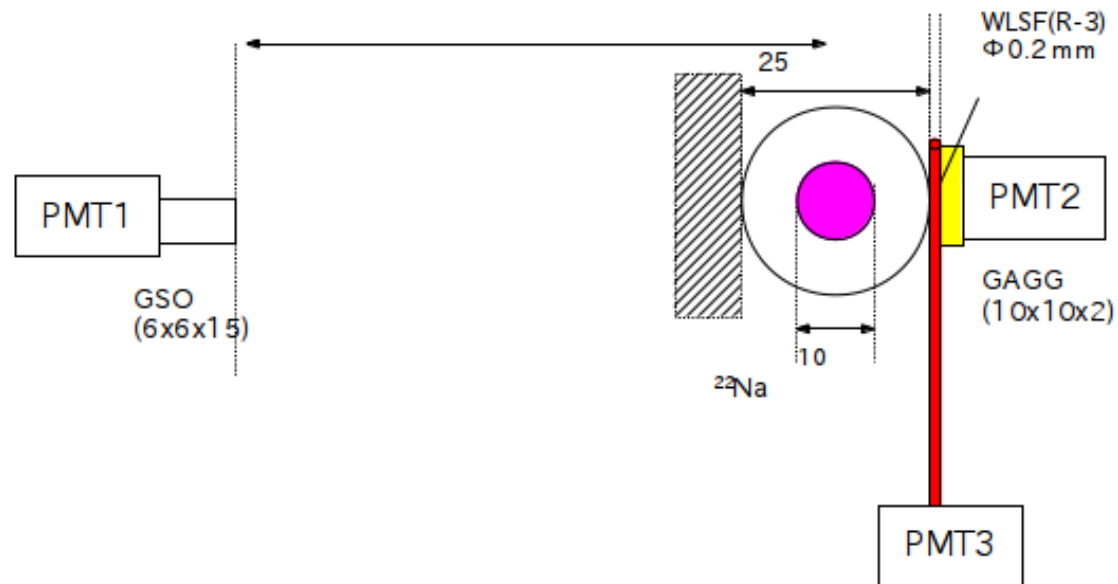
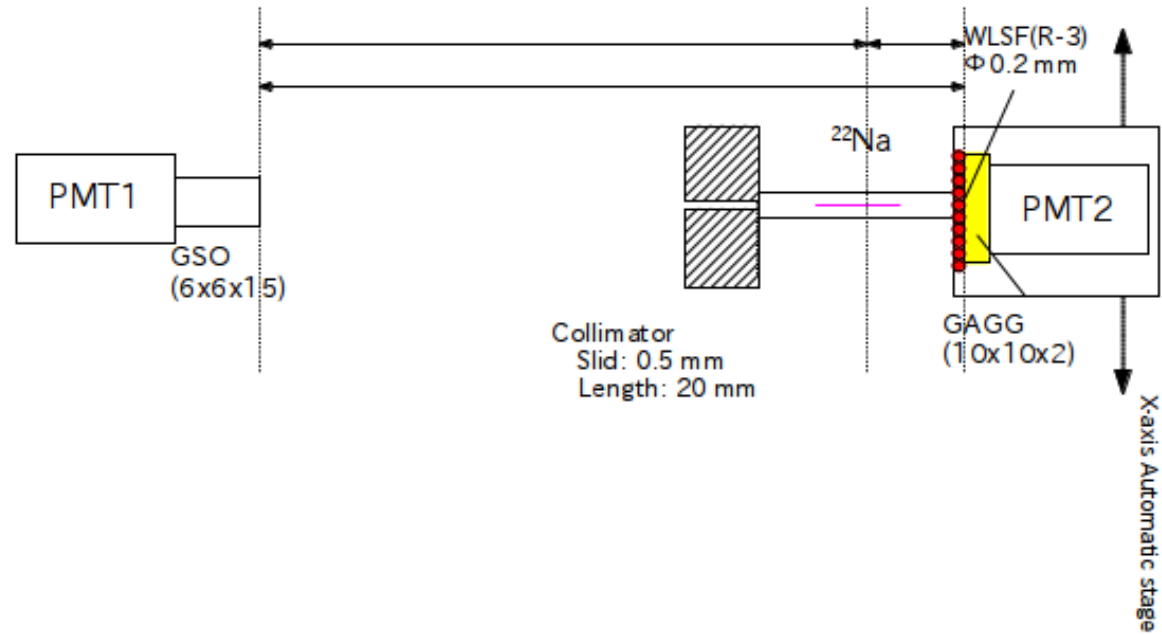
Combination of GAGG & WLSF(R-3)



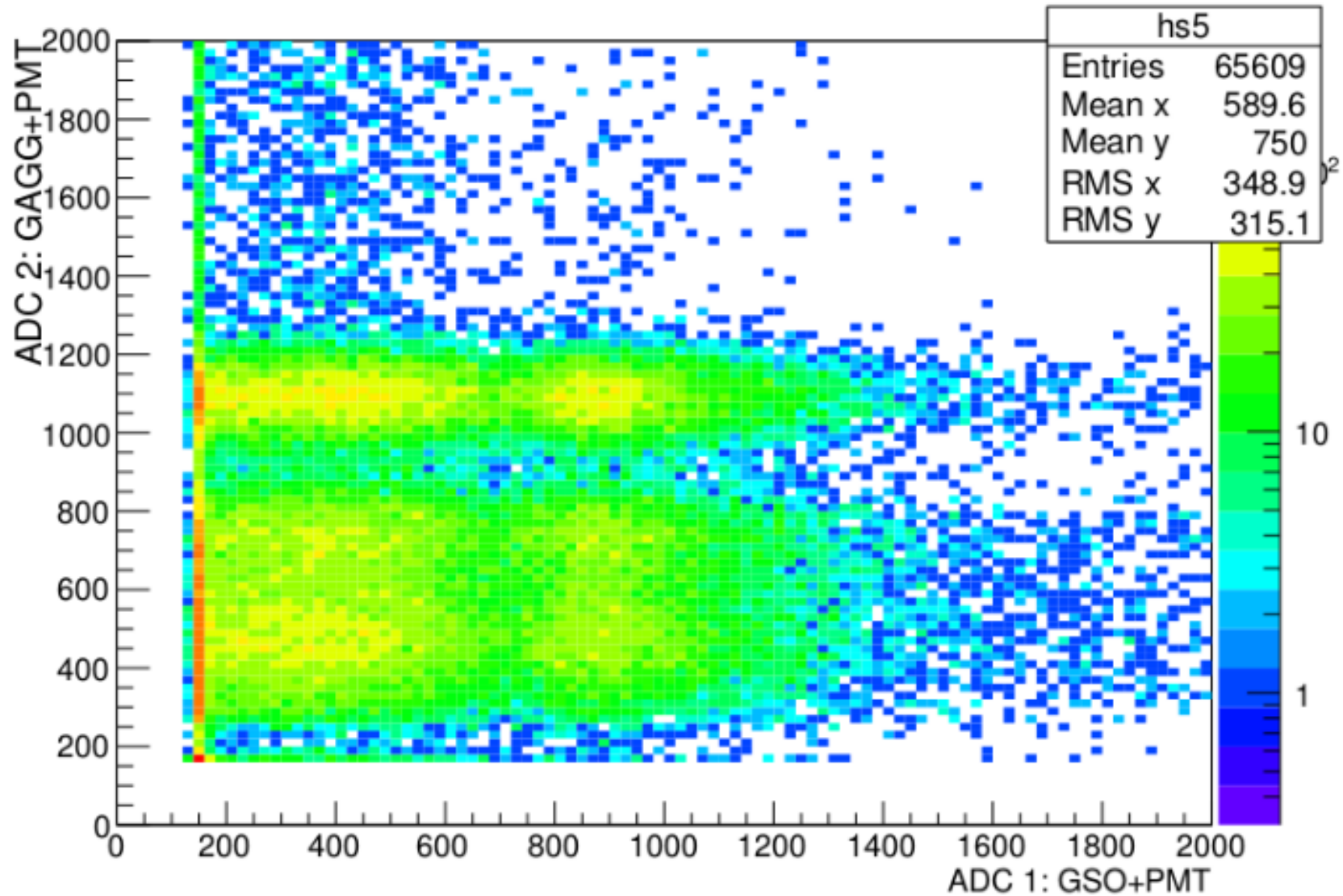
Setup



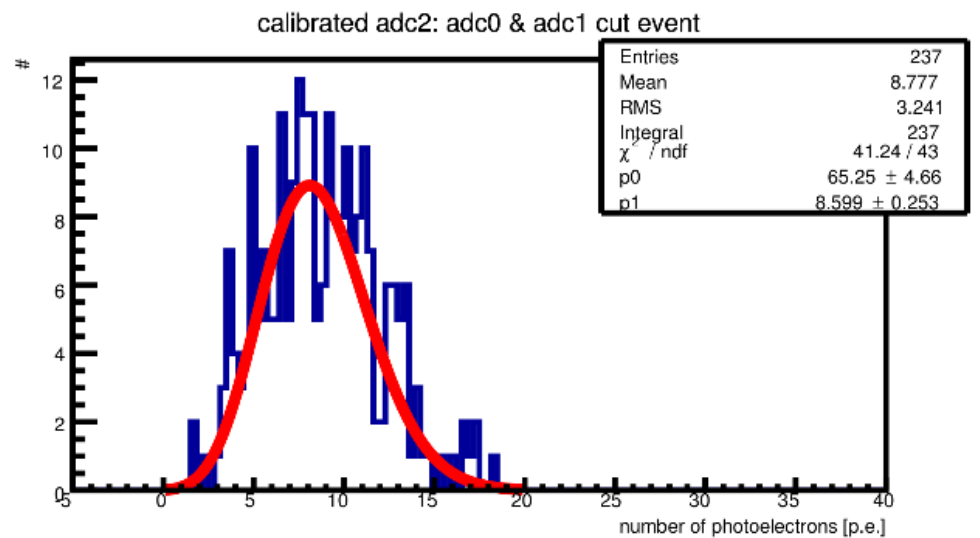
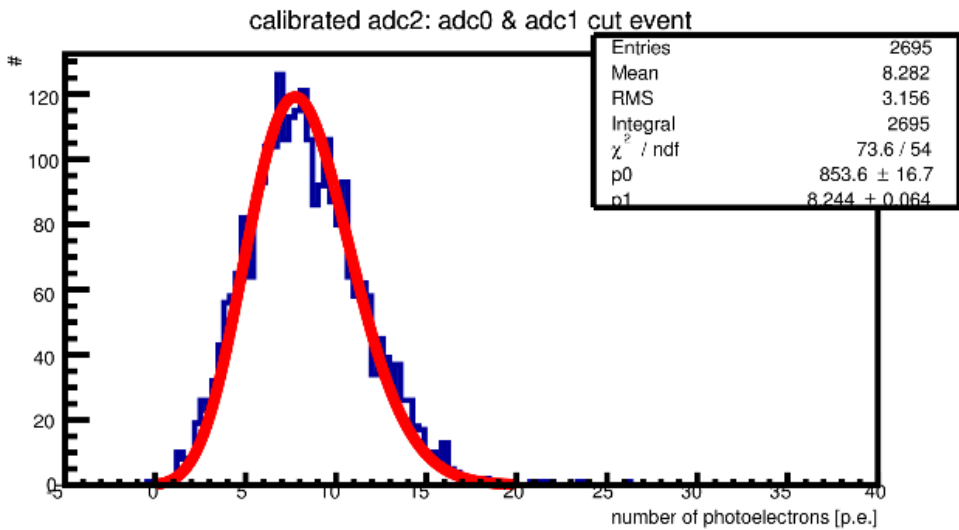
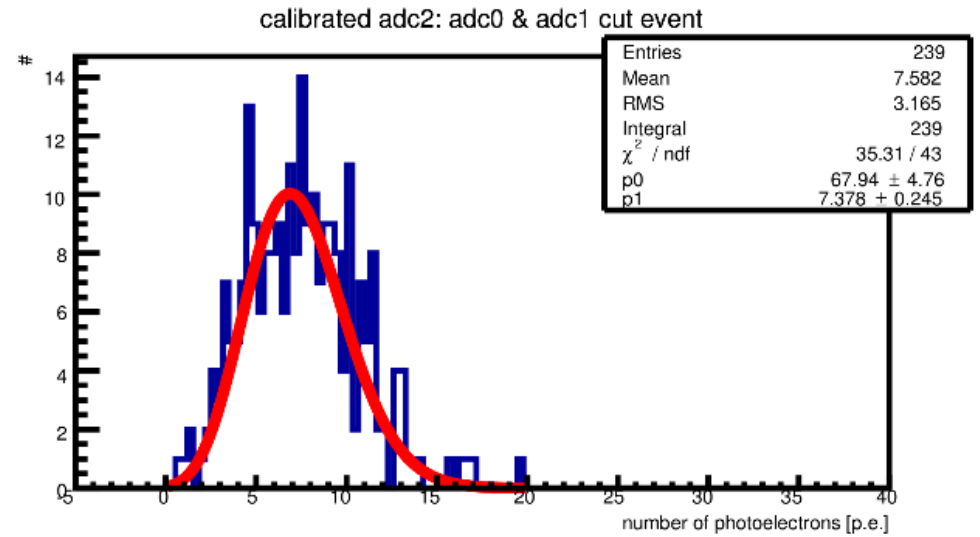
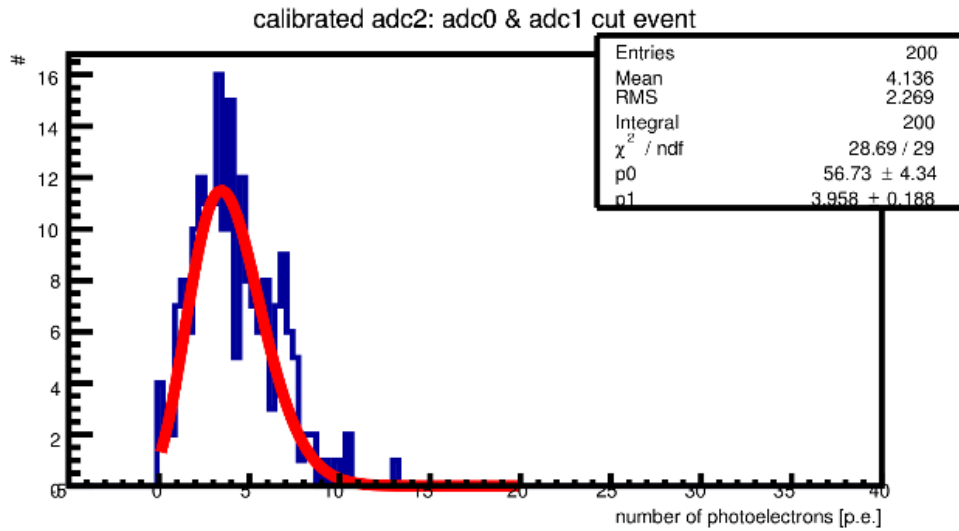
Setup



Event selection

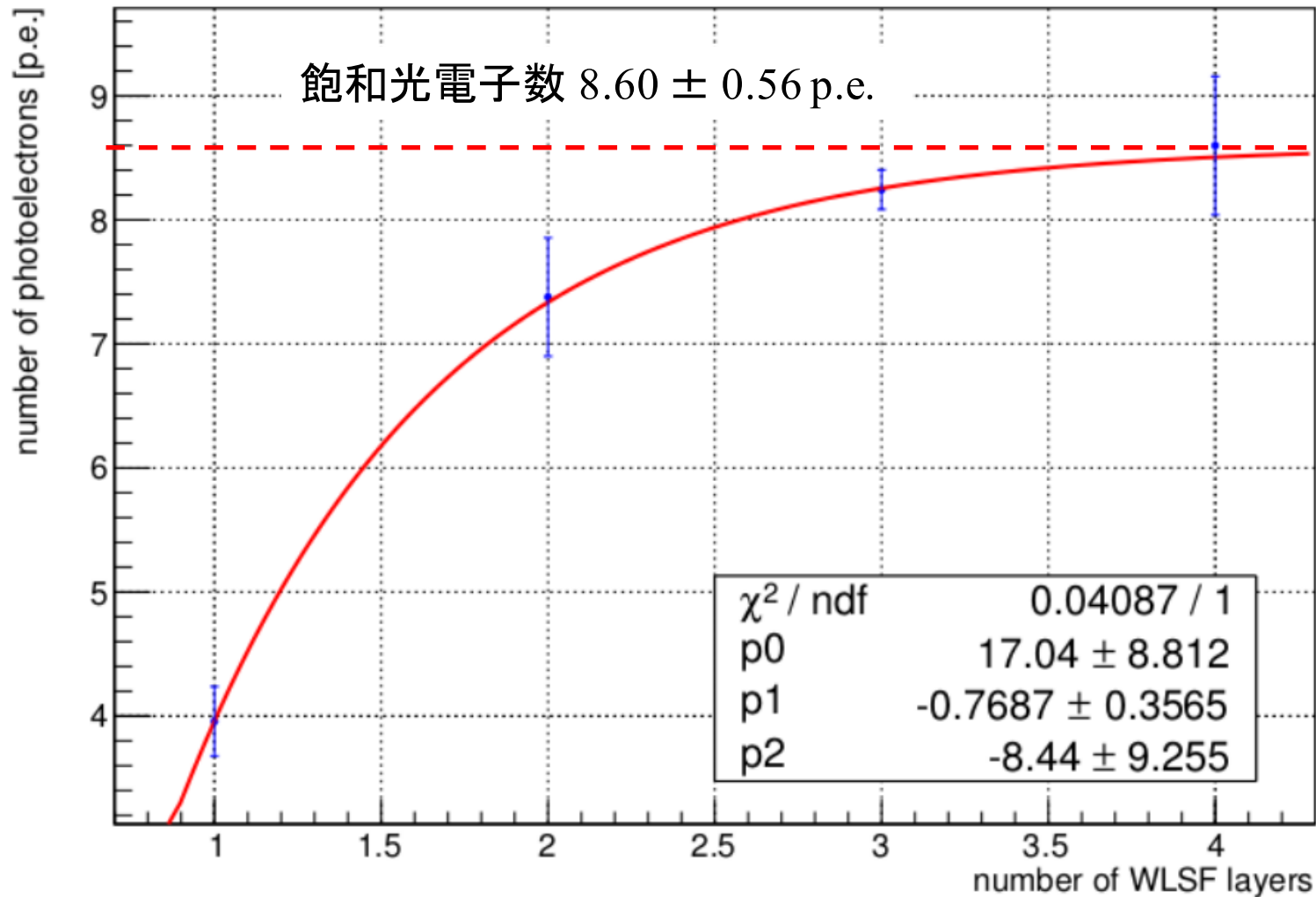


WLSF collected photoelectrons

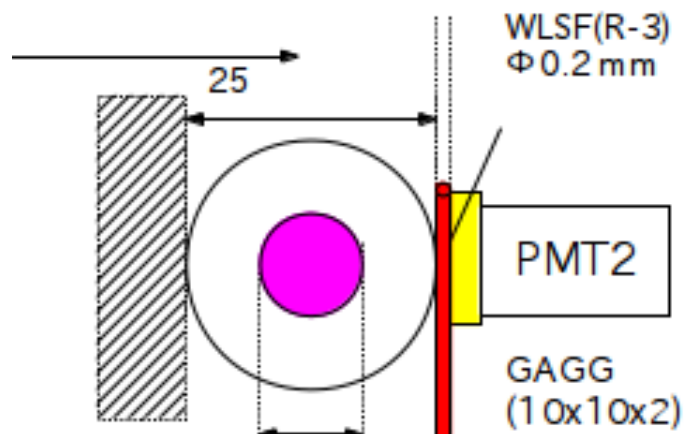


WLSF collected photoelectrons

relation of number of photoelectrons and layers



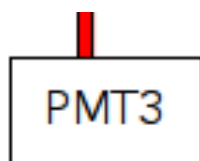
WLSF collected photoelectrons



$$N_{p.e.} = \int \frac{N_{ph}(\lambda)}{MeV} \Omega(\lambda) \epsilon_{PMT}(\lambda) d\lambda$$

平均光電子数 252.6 ± 0.2 p.e.

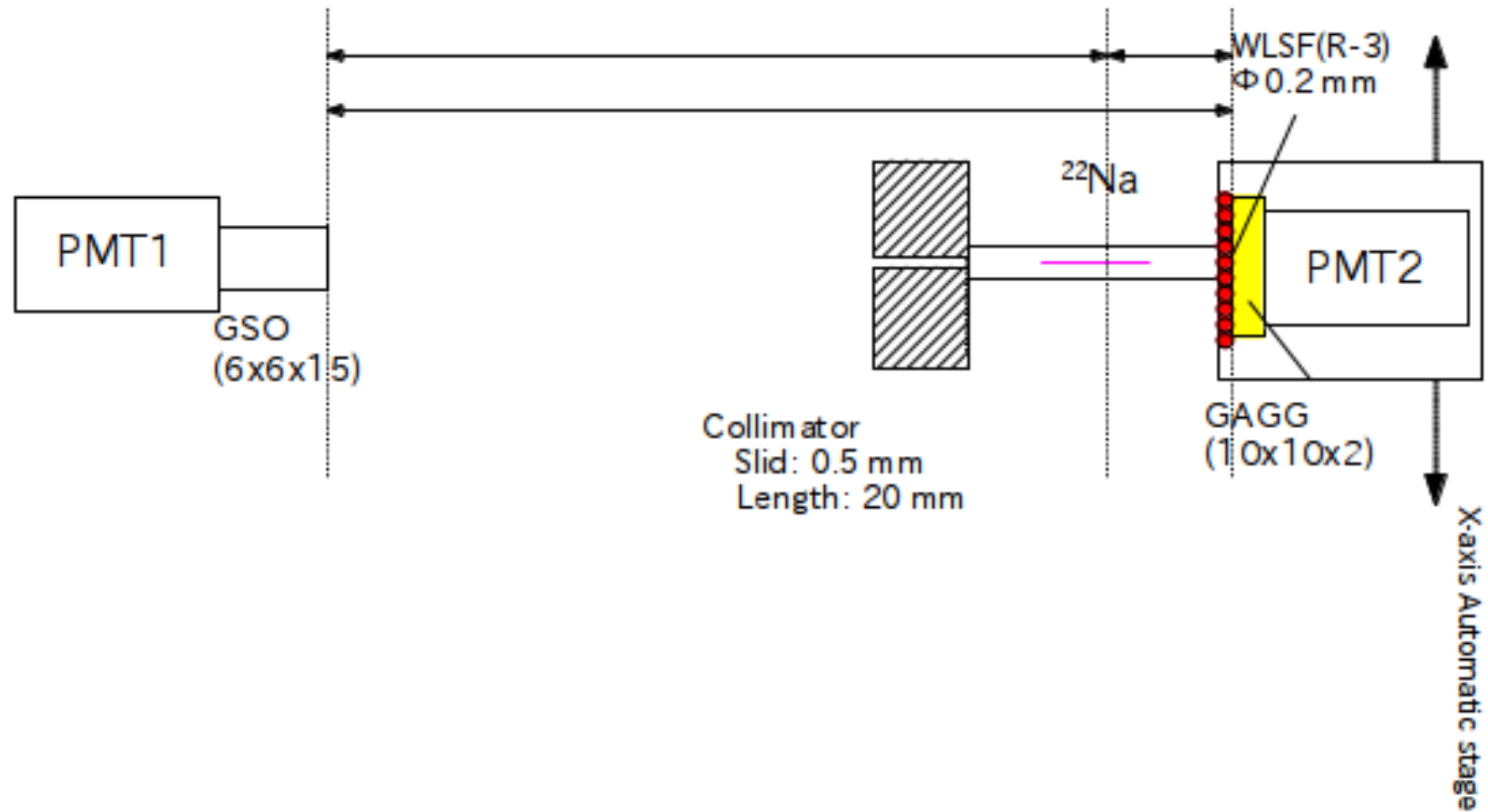
WLSF 收集効率 $3.4 \pm 0.2\%$



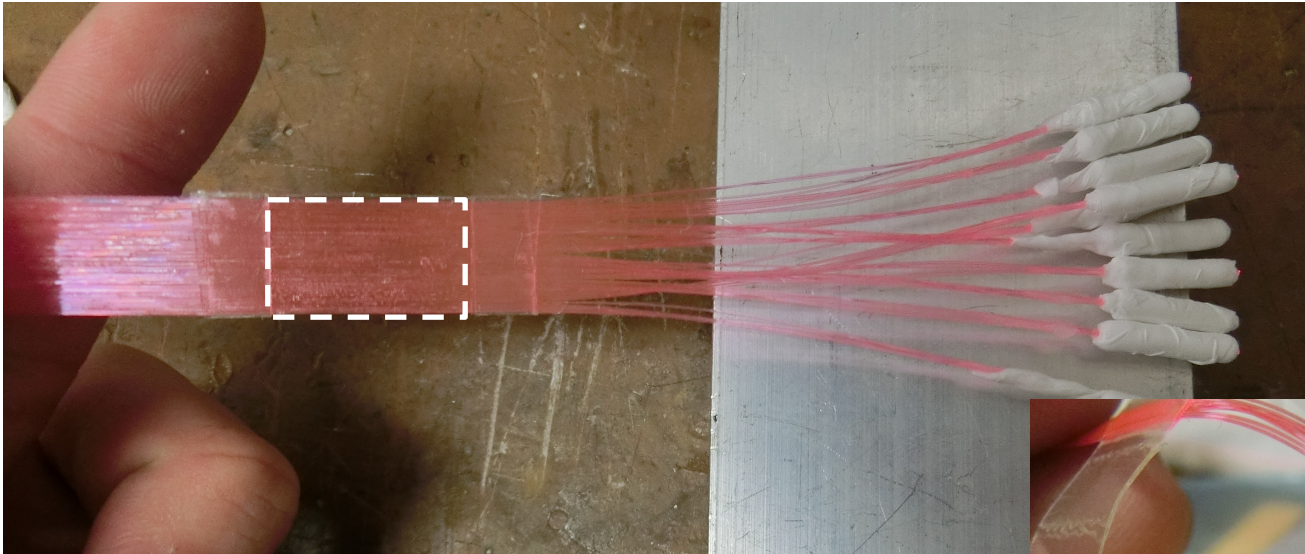
$$N_{p.e.} = \int \frac{N_{ph}(\lambda)}{MeV} \Omega(\lambda) \epsilon_{core}(\lambda) \epsilon_{trap}(\lambda) \epsilon_{PMT}(\lambda) d\lambda$$

飽和光電子数 8.60 ± 0.56 p.e.

Precise position measurement



Precise position measurement setup

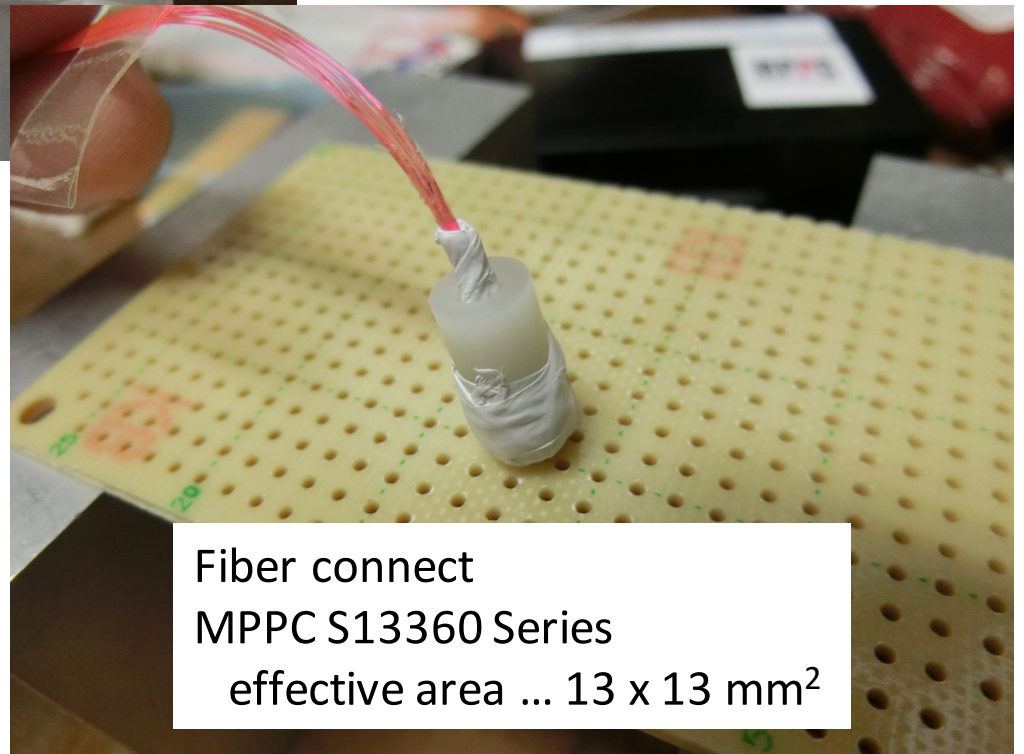


WLSF (R-3)

effective area ... $10 \times 10 \text{ mm}^2$

1 mm width strip (x 10)

1 strip: 5 fibers

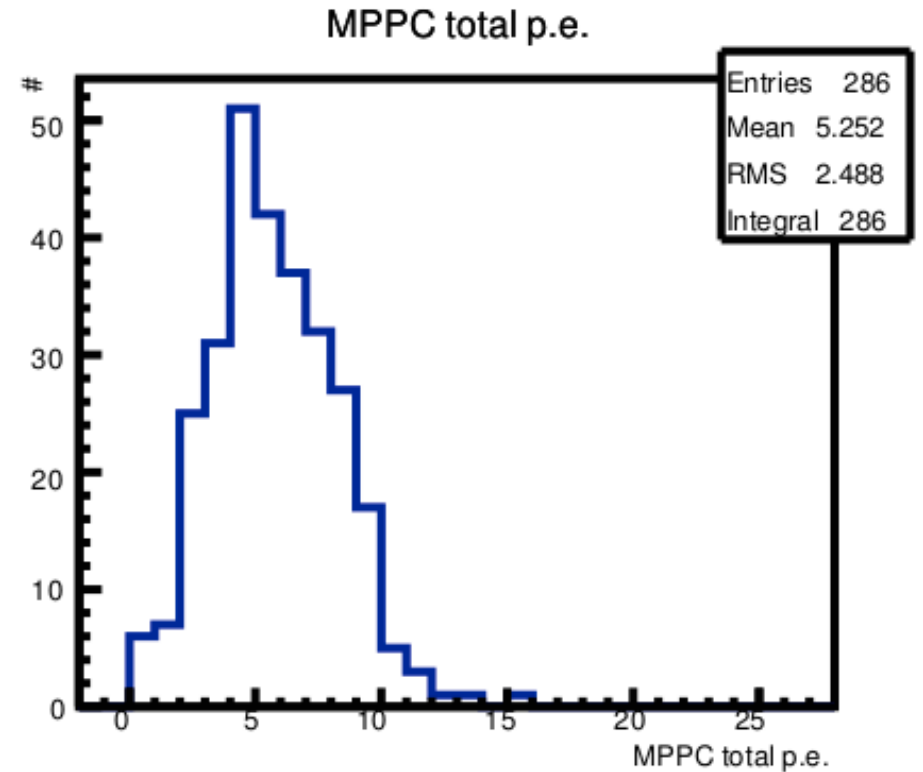
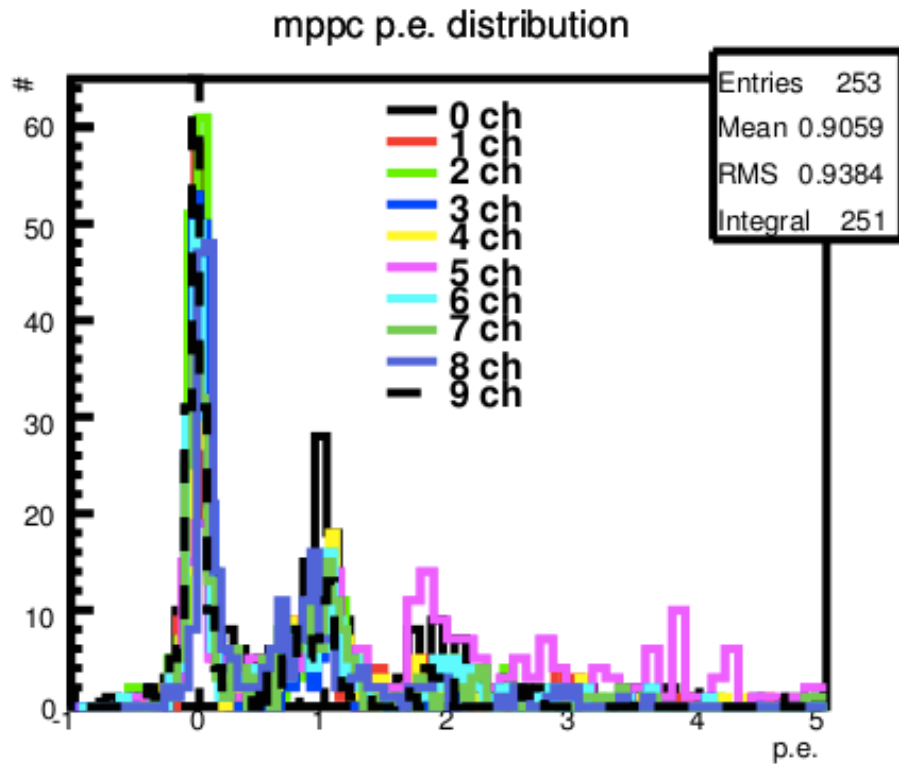


Fiber connect

MPPC S13360 Series

effective area ... $13 \times 13 \text{ mm}^2$

Precise position measurement Analysis



Precise position measurement Analysis

Reconstructed position

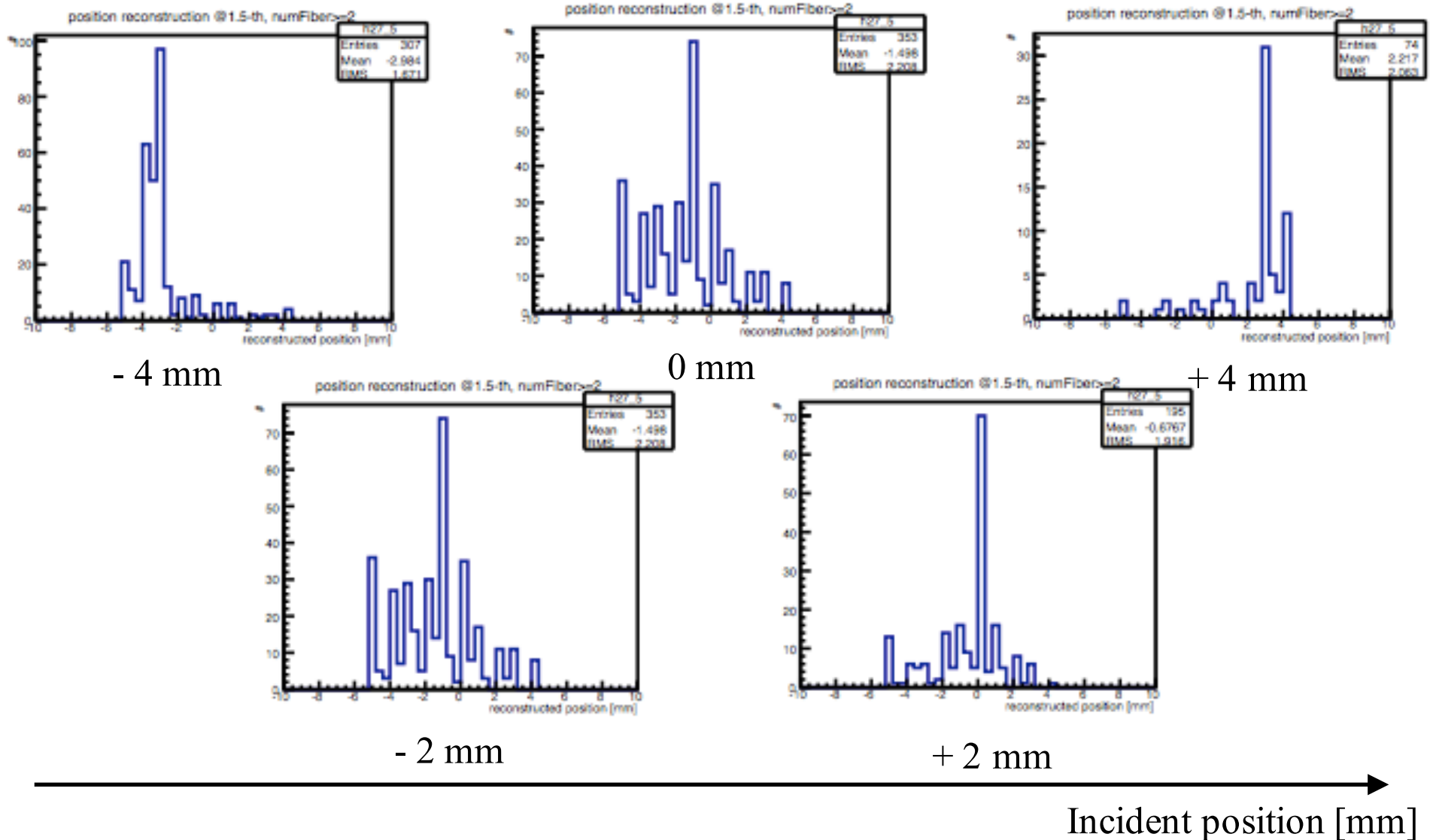
$$X = \frac{1}{Q} \sum_i x_i Q_i$$

$$Q = \sum_i Q_i$$

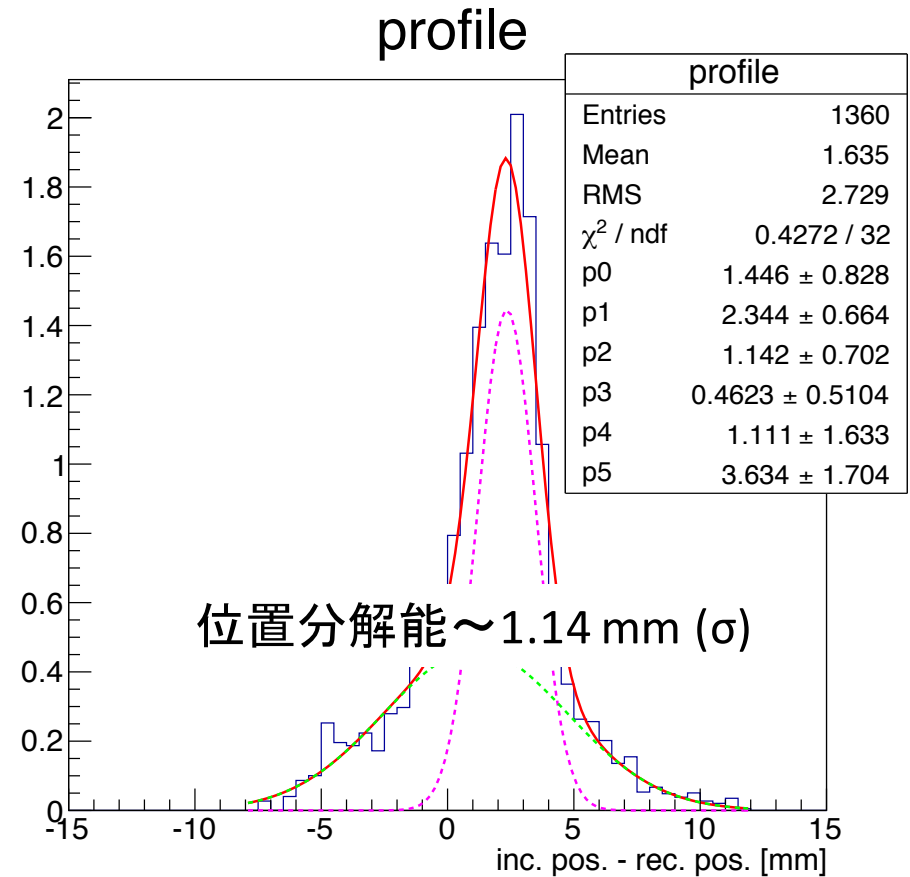
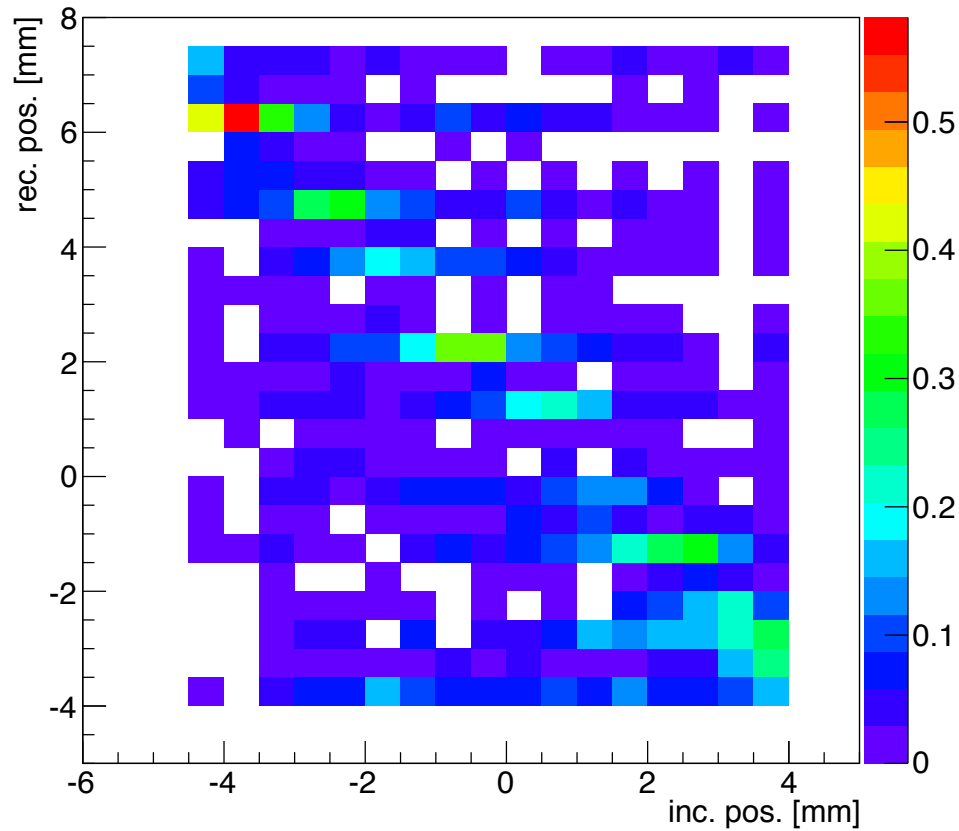
where i is channel number, x_i is channel position, Q_i is number of photoelectrons.

Precise position measurement

Each reconstructed position



Precise position measurement result



summary

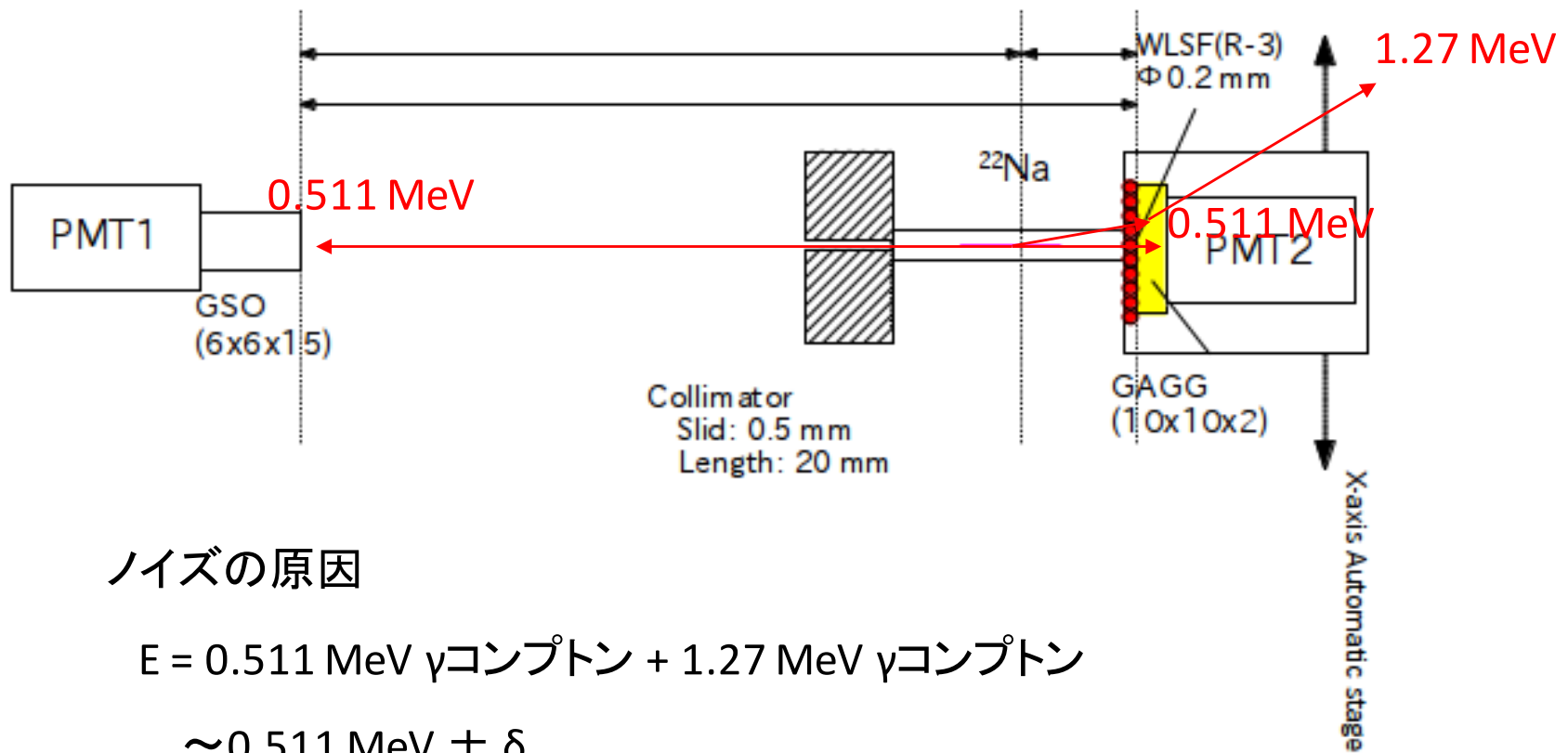
1. WLSFを用いたガンマ線検出器は安価で高位置分解能が可能
2. シンチの発光波長領域とWLSFの吸収波長領域が重なっていると可能
3. GAGG + R-3は読み出し可能: 収集効率約3%
4. WLSF 1 mm Strip で 位置分解能(x) ~ 1.14 mm (σ)

Future Outlook

1. ^{22}Na からの1.27 MeVのノイズ除去
2. WLSF 1本ずつ(0.2 mm Strip)で読み出し

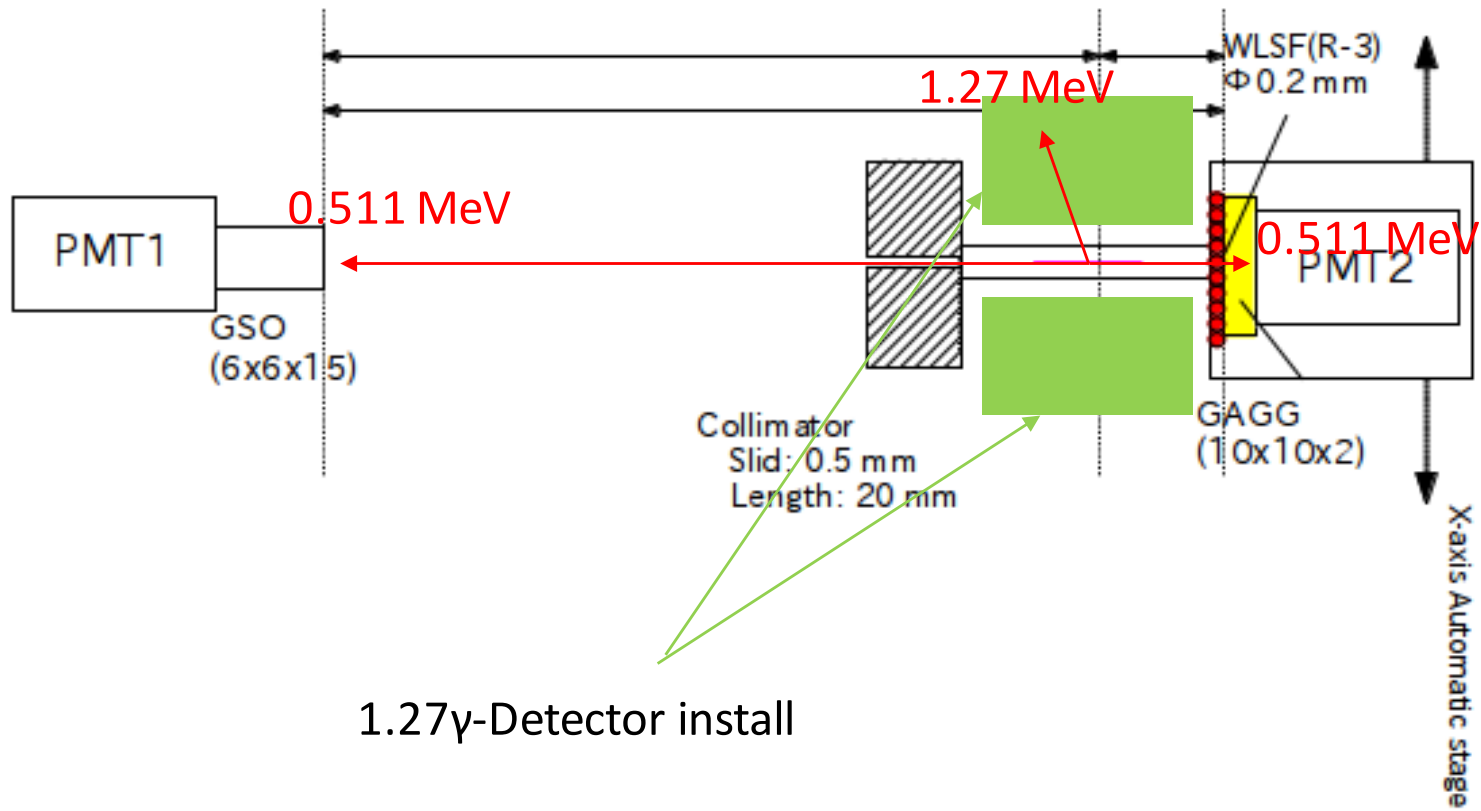
Future Outlook

1. ^{22}Na からの1.27 MeVのノイズ除去



Future Outlook

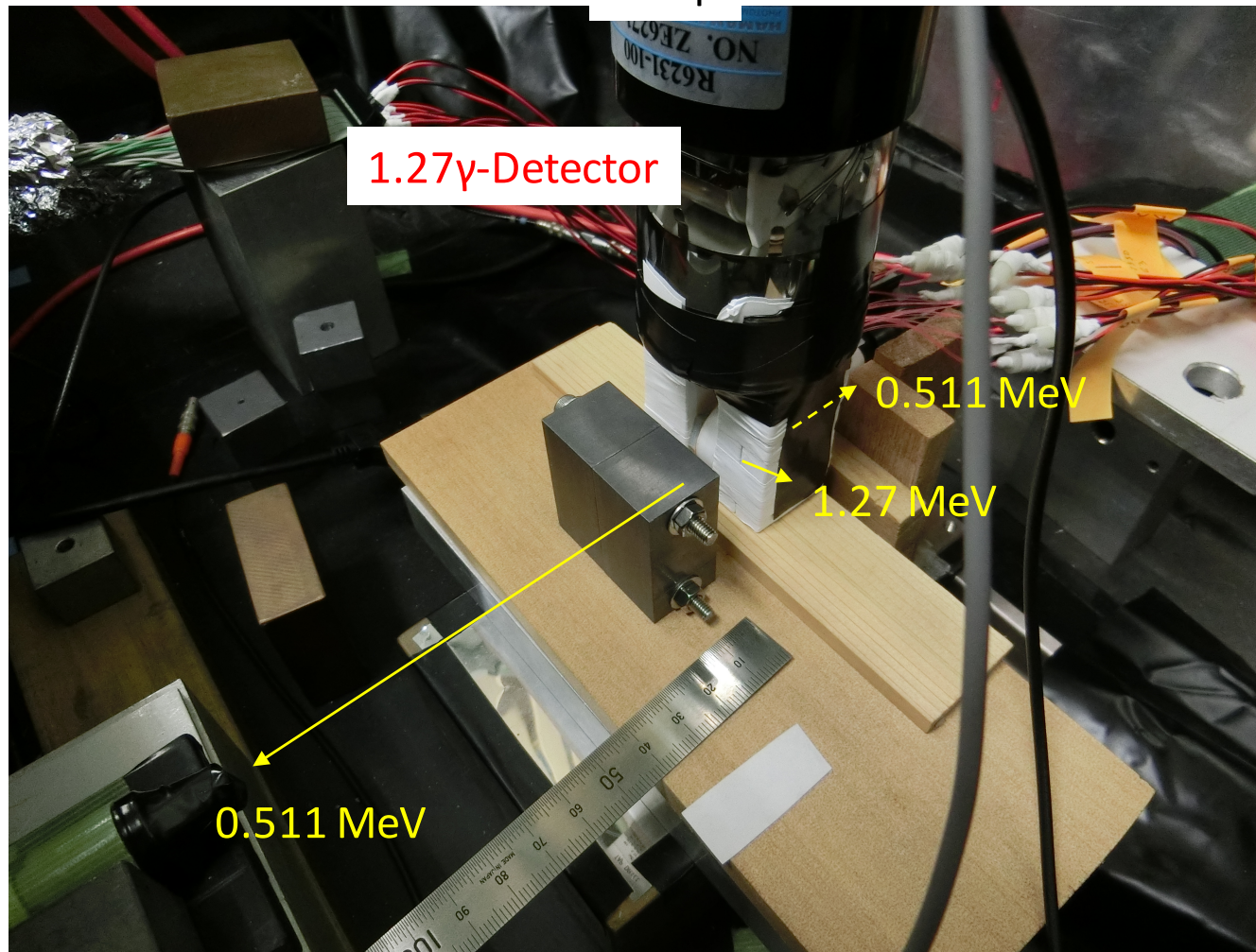
1. ^{22}Na からの1.27 MeVのノイズ除去



Future Outlook

1. ^{22}Na からの1.27 MeVのノイズ除去

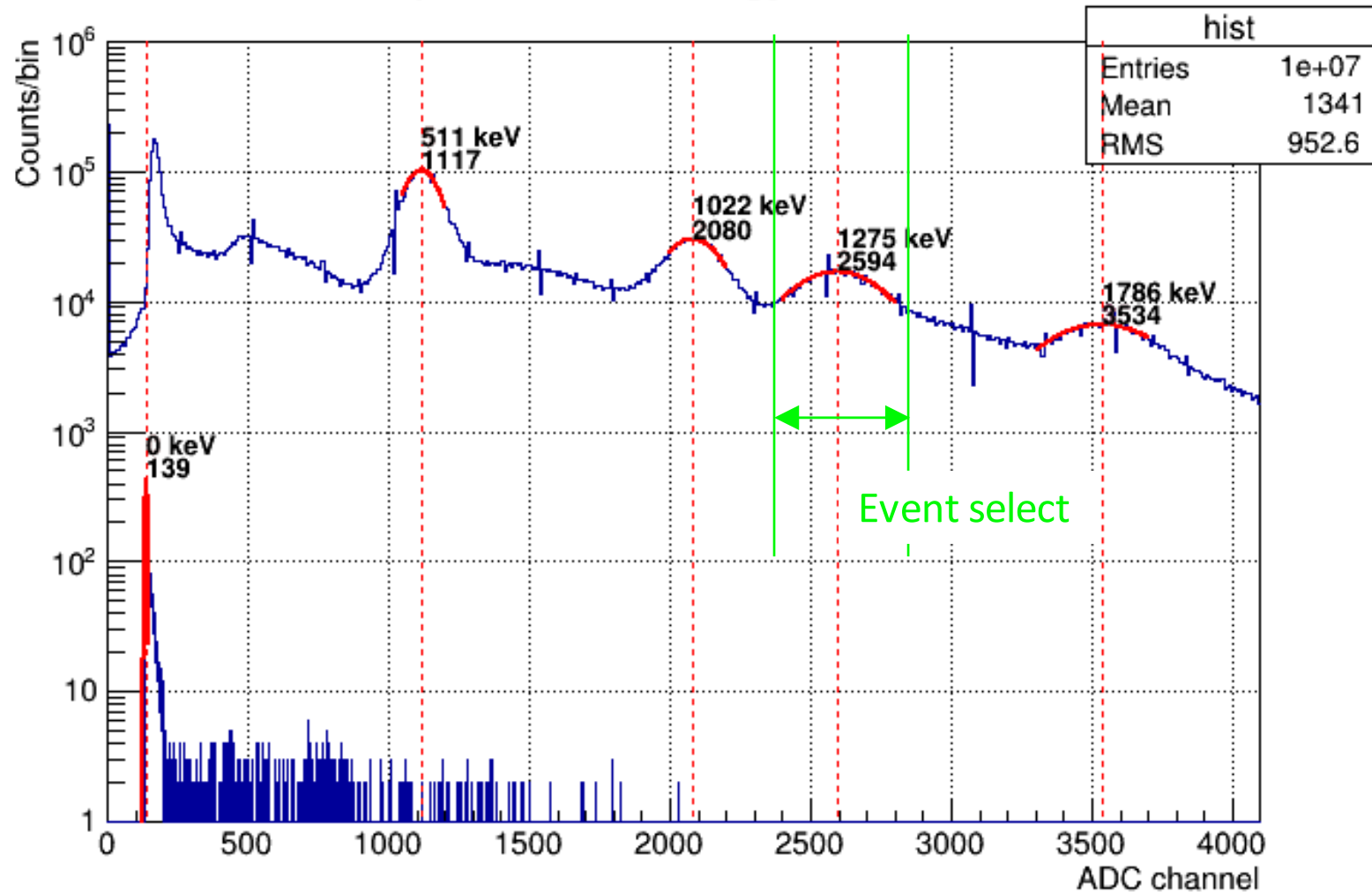
Setup



Future Outlook

1. ^{22}Na からの1.27 MeVのノイズ除去

1.27 γ - detector energy distribution



Future Outlook

2. WLSF 1本ずつ(0.2 mm Strip)で読み出し

1 mm Strip 読み出しで分解能 1.1 mmを達成



0.2 mm Strip 読み出しで分解能 0.2 mmを達成!?

γ -ray Detector

半導体検出器



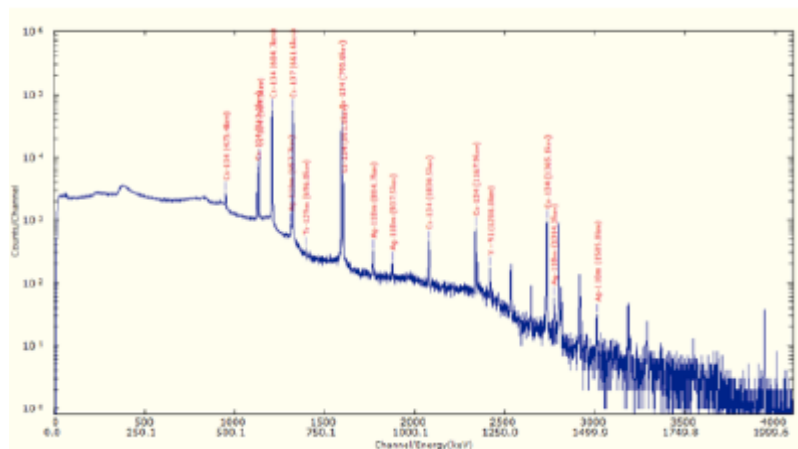
<http://www.pref.kanagawa.jp/cnt/p499367.html>

シンチレーション検出器



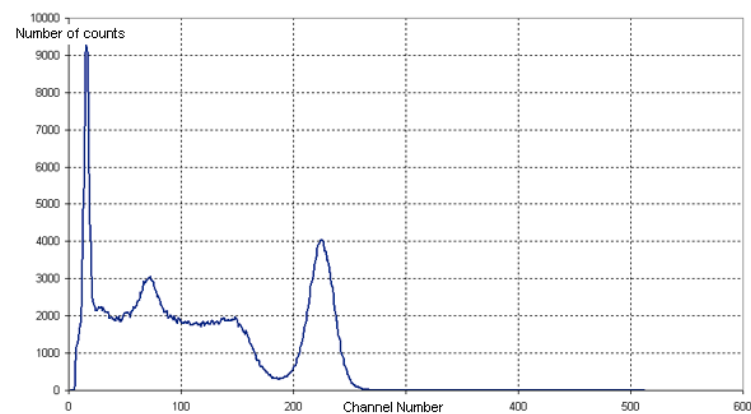
γ -ray Detector

半導体検出器

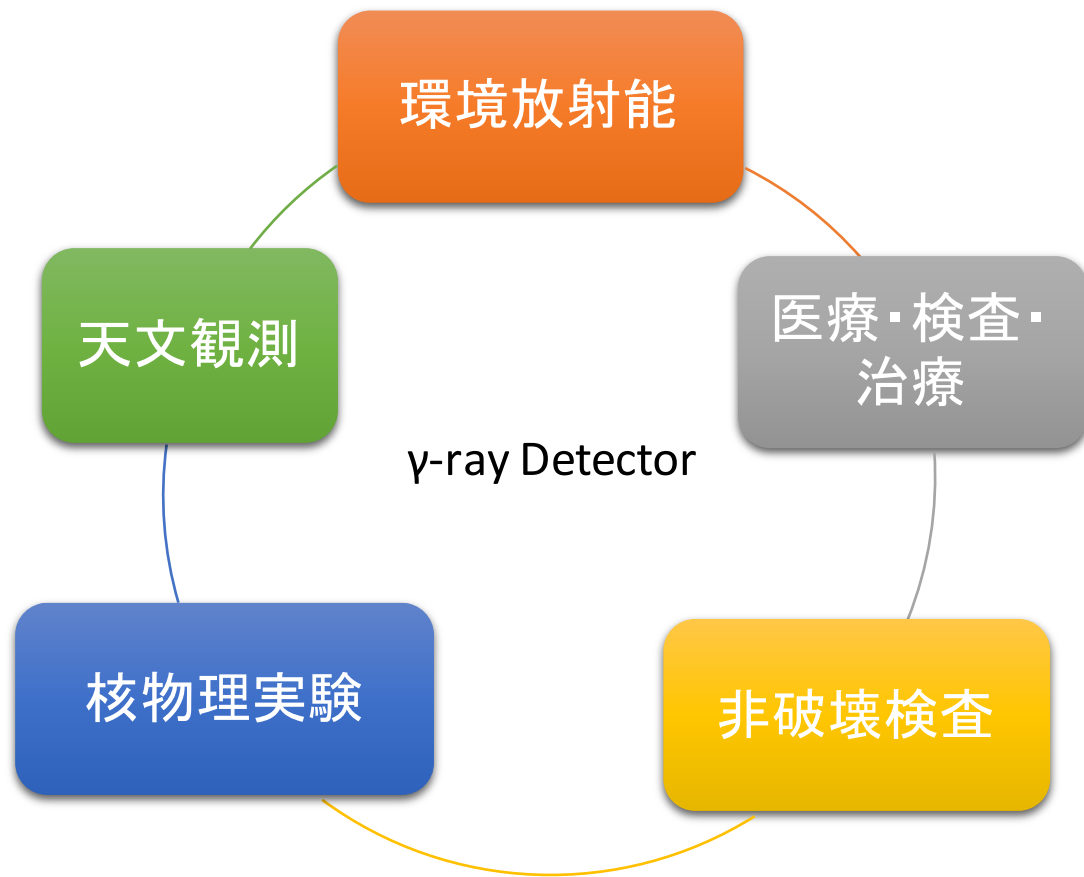


エネルギー分解能 … 高い
 検出効率 … 低い
 Ge: 温度管理(- 200°C)
 大型

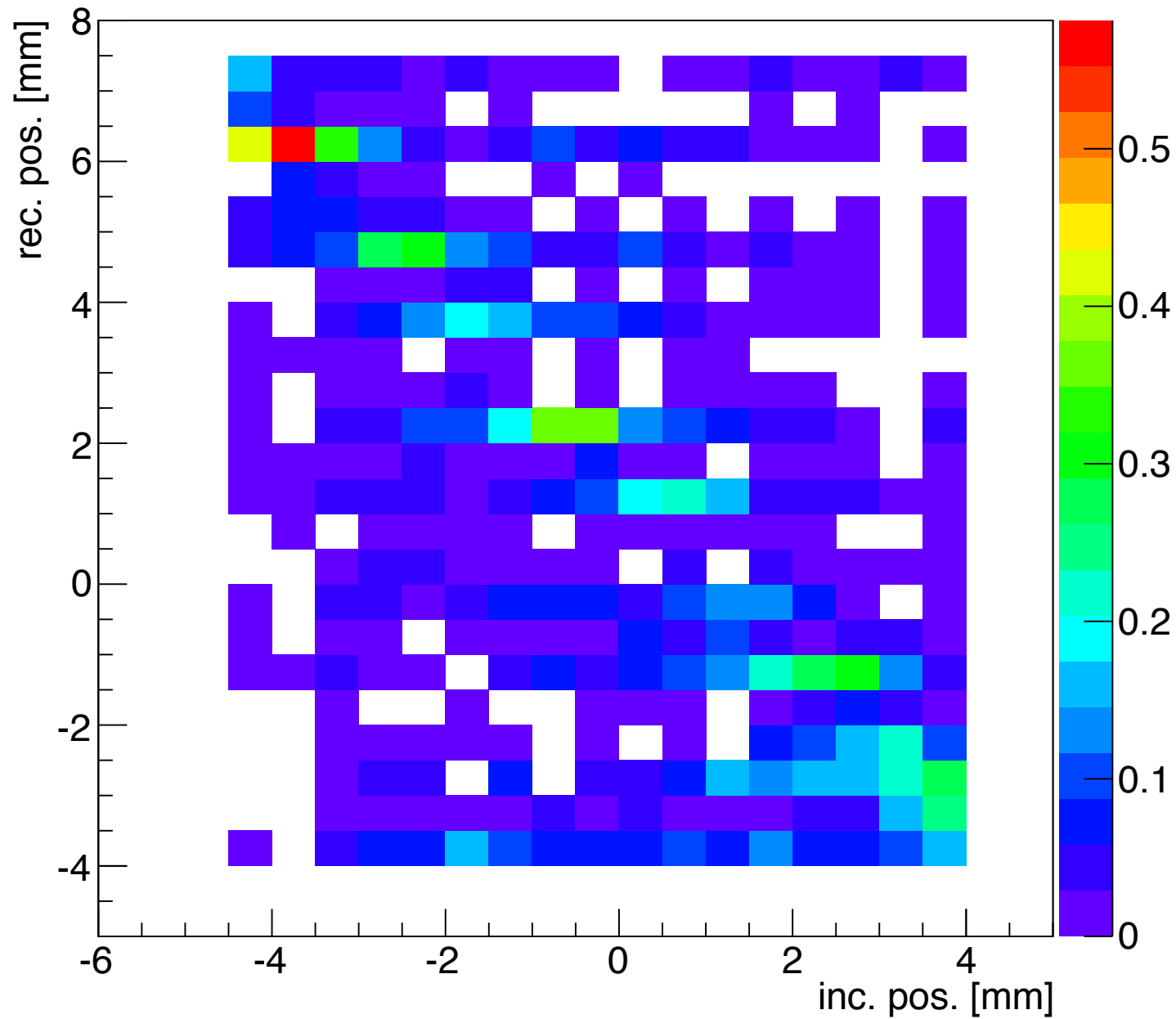
シンチレーション検出器



エネルギー分解能 … 低い
 検出効率 … 高い
 小型



Precise position measurement



Precise position measurement profile

